

Edmonsiov algoritmus

Def: Párování M v grafu G je umocněna množina disjunktivních hrani.

Def: Párování M je maximální \Leftrightarrow neexistuje párování M' : $|M'| > |M|$.

Def: Vrchol $v \in V(G)$ je volný vůči M \Leftrightarrow není v žádné hraně z M .

Def: Sklízavá cesta v G s párováním M je cesta,
kde se sklízají párové a nepárové hrany.



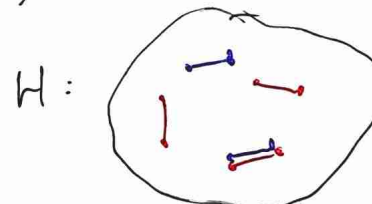
Def: Sklízavá cesta je augmentující \Leftrightarrow začíná i končí volným vrcholem (ASC)
 ASC může alternovat a tím získat párování o 1 větší



Lemma: Párování M v G je maximální $\Leftrightarrow M$ nemá žádnou ASC.

Dle: \Rightarrow : Edyby \exists ASC, tře by M mohlo být maximální \Leftrightarrow
 \Leftarrow : pro spor nechť M' je větší párování
 \hookrightarrow rozšiřme graf $H := (V, M \cup M')$

M červené
 M' modré



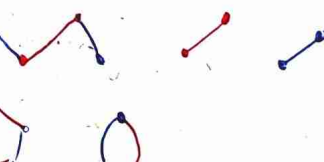
 H má slupné vrcholy nejméně 2

$\Rightarrow H$ je disj. sjednocení $\begin{cases} \text{cest (sklízavé)} \\ \text{krvínice (sudé)} \end{cases}$

\hookrightarrow protože krvínice jsou sudé, tře $\#_2 M = \#_2 M'$

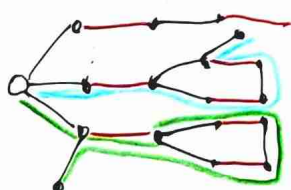
\hookrightarrow jelikož $|M'| > |M|$, tře ale spolu 1 cesta
musí začínat i končit hranou z M'

$\Rightarrow M$ má ASC



Hledání ASC

\rightarrow začnu ve volném vrcholu a jednu BFS - funguje ve stromech, ale v



\rightarrow cyclus ale \exists ASC (modrá) obecněm grafu může být cyclus

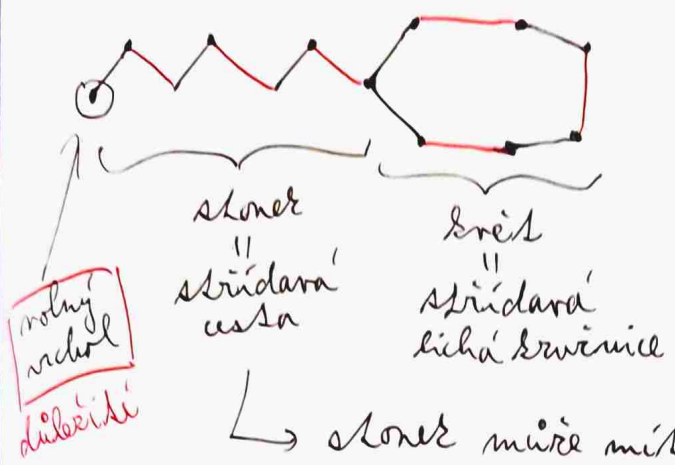
\hookrightarrow jenž BFS ji nenajdě \because není nejdokonalejší cesta do cílového vrcholu

\hookrightarrow řešení: možností zarážet hrany v obráceném směru

\hookrightarrow ? problem: může majít ASC kde se opakuje hraná

→ jednoduchý přístup s BFS na obecné grafy nefunguje

Kyticový (Blossom) algoritmus



→ v grafu musí být nějaký kružnice obíráček atg to selhalo

⇒ BFS přístup funguje ve stromech a bipartitických grafech (nemají liché cykly)
! systém obsahuje právě 1 volný uzel

↳ stonk může mít několik vrcholů

Lemma: Nechť G je graf, M párování, K kružnice kytice. Potom

G má ASC $\Leftrightarrow G \cdot K$ má ASC

Df: $G \cdot K$ je graf vzniklý kontrakcí kružnice.



$$V(G \cdot K) := V(G) \setminus V(K) \cup \{K\}$$

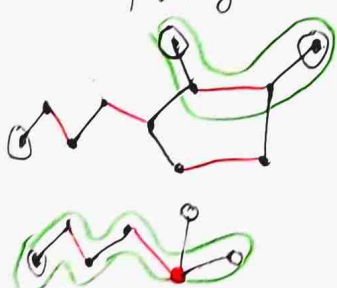
$$E(G \cdot K) := E(G) \setminus \binom{K}{2} \cup \{uv \mid \exists u \in E(G) : u \notin K\}$$

! podobně lze z M vytvořit $M \cdot K$ v $G \cdot K$

Děl: \Rightarrow : Nechť \exists ASC v G

a) nedostává se kružnice \Rightarrow stejná cesta funguje i v $G \cdot K$

b) dostává se kružnice



↳ do kružnice lze vložit nějakou ASC (v se na něj neponájí cílenou (nenapárovovanou) branou)

\Rightarrow ASC v $G \cdot K$ je stonk spojený s touto cestou - císař

! může se stát že tím císař jede koncem po stonku
↳ tady ji pak pobírá dílčí nějaký roztoky přírodní

\Leftarrow : Nechť \exists ASC v $G \cdot K$

a) nefunkční kružnice uzel \Rightarrow stejná cesta funguje v G

b) funkční kružnice uzel

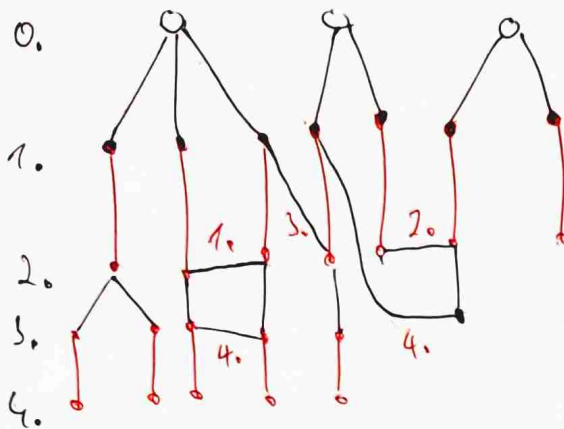
↳ desípnou část mimo kružnice a přidáním cestu moci uzelky kružnice na které se neponájí ty dva očásky

\rightarrow tedy lze řídit lineárně



Edmondsov les

→ výšim BFS ale dřívám si říkají na lyžích



volné vrcholy

a) hrany meri soudými hladinami
mohou soudit hradec 1. lyžák
2. ASC

b) hrany meri soudou a lichou hladinou 1.
nicemu neradi ale ani neproniknou protože
mohou nedají žádou ASC

c) hrany meri lichými hladinami 4.
mohou také ignorovat → nedají ASC.

Algoritmus Max Matching

Vstup: Graf $G = (V, E)$

1. $M = \emptyset$
2. $P = \text{ASC}(G, M)$
3. Pokud $P \neq \emptyset$: $M \cup M$
4. Jinak Alternace (P, \bar{P})
5. Goto 2.

Najdi ASC mezi Kydlem

$$O(|V| + |E|)$$

.ASC(Graf G, Matching M)

1. $P = \text{NajdiASCmeziKydlem}(G, M)$
2. Pokud $P = \emptyset$: $M \cup P$
3. Pokud P je ASC: $M \cup P$
4. P je zátka \rightarrow rozlož G.K, M.K do dvou částí
5. $P' = \text{ASC}(G.K, M.K)$
6. Pokud $P' = \emptyset$, $M \cup P'$
7. Jinak vrat P' do G vracíme k P'

↳ zde se závratí mezi $|V|$ -krát

↳ závrat konstrukce Edmondsova lesa je lineární

$$\Rightarrow O(|V| \cdot (|V| + |E|))$$

Max Matching

↳ přidat hrany složí

↳ najdej se $|V|$ hrany



$$\Rightarrow \underline{\underline{O(|V|^2 \cdot (|V| + |E|))}}$$

? Je to konservativní odhad?

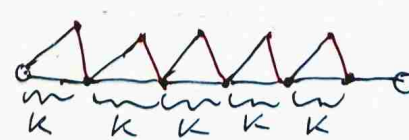
1) # iterací Max Matching

→ pokud G má perfektní párování

→ jistěm $|V|/2$ hrany

$$\Rightarrow \# \text{ iterací} \in \Theta(|V|)$$

2) hledání rekure ASC



$$|V| = 2 + 2 \cdot \# \text{ lyžek}$$

$$\Rightarrow \# \text{ lyžek} \in \Theta(|V|)$$

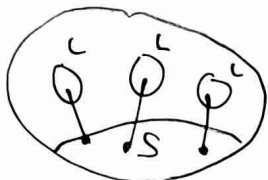
Def: Párování je perfektní \Leftrightarrow # vrcholů je rovno počtu hran.

Problém: Jak poznat perfektné párování?

Def: Pro graf G definujeme $\text{ODD}(G) := \# \text{ lichých komponent}$

Věta (Tutte): Graf G má PP $\Leftrightarrow \underbrace{\# S \subseteq V(G) : \text{ODD}(G \setminus S) \leq |S|}_{\text{Tutteova podmínka}} \dots \text{TP}$

Dů: $\Rightarrow:$



\rightarrow V liché komponente $G \setminus S$ má v PP hrany do S
 $\Rightarrow S$ musí mít dost vrcholů

\Leftarrow : Indukce podle počtu nehran. Note: $S = \emptyset$ dává: # lichých komponent G = 0

1) Pokud G je elika: TP \Leftrightarrow # vrcholů je sudý \Rightarrow máme PP

2) Pokud G není elika:

$$\hookrightarrow S := \{v \in V(G) \mid \nexists u \in V(G), u \neq v : uv \in E(G)\}$$

\hookrightarrow univerzální vrcholy

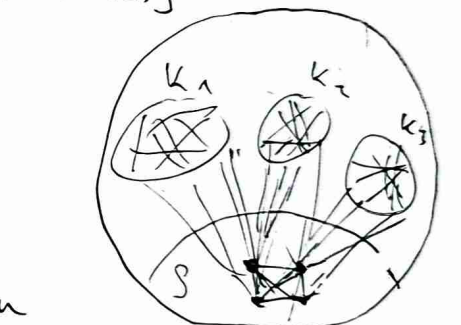
a) V komponente $G \setminus S$ je elika

1. Spárujme souběžné eliky $G \setminus S$

2. spárujme liché eliky k nim se pouřijí

1 vrchol $x \in S \dots$ se lze \Leftrightarrow TP & vrcholy S jsou univerzální

3. do spárujme vrcholy S (elika)



\Rightarrow má $\Leftrightarrow |V(G)|$ je sudý

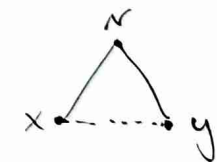
\hookrightarrow pro 2. musí mít S sudý počet vrcholů

b) $G \setminus S$ má alespoň 1 komponentu co není elika \otimes



\otimes Pokud H je souvislý & není elika, tak obchází

\otimes G obchází



\hookrightarrow \otimes nejsou komponenta $G \setminus S$ obchází

$\hookrightarrow n \exists$ případě jinak $v \in S$



- Nechť: $\ell_1 := \{x, y\}, \ell_2 := \{v, w\} \Rightarrow G_1 := G + \ell_1, G_2 := G + \ell_2$

\otimes G splňuje TP & $H = G + \text{hrana} \Rightarrow H$ splňuje TP

$\Rightarrow G_1, G_2$ splňují TP & mají min. nehran \Rightarrow mají PP

\Rightarrow pokud $\ell_1 \notin M_1, \dots$ nemá M₁ & pokud $\ell_2 \notin M_2 \dots$ nemá M₂

Worst case ... $l_1 \in M_1$ & $l_2 \in M_2$

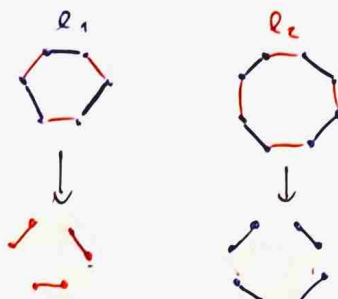
↳ podílíme se na grafu $(V, \underline{M_1} \cup \underline{M_2})$

↳ podobně jako v důvodu lemmana (M₁ je maximální $\Leftrightarrow G$ nemá ASC)
mi ve výsledném grafu vznikají sady cykly 

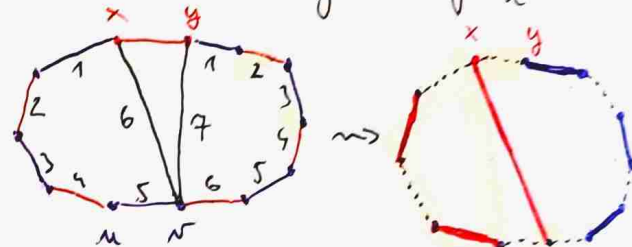
Dílce nejsou tam cesty 

↳ jinde M_2 nepovíže v & M_1 nepovíže v \Rightarrow nejsou perfektní

d), l_1 a l_2 v různých cyklech



b), l_1 a l_2 ve stejném cyklu



- pokud $y \rightarrow v$, tak mám 2 cykly
→ necháme si ten sudý
→ obytek vrcholu povíjení cestou

Věta (Peterson): Každý 3-regulární 2-souvislý graf má PP.

↳ 2 souvislosti \Leftrightarrow hranově nebo vrcholově?

💡 Pokud je G 3-regulární, pak je vrchol 2-souvislý \Leftrightarrow je hraně 2-souvislý

Důkaz: Vrchol \Rightarrow hraně ... a m..., pokud vrcholová souvislost je silnější
Hraně \Rightarrow vrcholově

 nevislane $\Leftrightarrow l_1$ byl most

Důkaz: Uvažme že 3-regulární 2-souvislý grafy splňují Tukkerova postušku

→ rovněž 3 libovolně a podílíme se na $G \setminus S$

→ G je 2-souvislý \Rightarrow S + komponenty redm dr S alejmén 2 hran

💡 2 lichých komponent redm alejmén 3 hran

$$\Leftrightarrow \sum_{v \in L} \deg(v) = 3 \cdot |V(L)| = \underbrace{\# \text{ hran mezi } L \text{ a } S}_{\text{liché}} + \underbrace{2 \cdot \# \text{ hran } L}_{\text{sude}}$$

$$\Rightarrow \# \text{ hran mezi } L \text{ a } S = \text{liché } \& \geq 2 \Rightarrow \text{alejmén } 3$$

$\Rightarrow G$ je 3-regulární $\Rightarrow |S| \geq \# \text{ lichých komponent } G \setminus S$

Věta (Peterson pro z): Každý 2-regulární, $(z-1)$ -souvislý graf má PP.

↳ funguje stejný argument s použitím algoritmu

Věta (Tutte-Berge): Pro graf G je relativní největšího faktorámu rovna

$$\frac{1}{2}(|V(G)| - \text{defect}(G)) , \text{ kde } \text{defect}(G) = \max_{A \subseteq V(G)} \{\text{ODD}(G-A) - |A|\}$$

Intuice: Pokud G má PP, pak jeho relativní je $|V|/2$. Tutteova formule se platí
tedy $|A|$ je alelesou $\text{ODD}(G-A)$ a pokud ano (pro $A \subseteq V$), tak G má PP.
Tahle věta říká, že ty liché komponenty mívají jen jedinou překážku k PP.

Důkaz:

Nechť $\text{defect}(G) = \varepsilon$ a určime graf G' , který vznikne z G přidáním
 ε nových spojených se všemi vrcholy G .



Uvážme, že G' splňuje Tutteova formulu
 \Rightarrow Sedm má PP relativní $|V(G')|/2 = \frac{1}{2}(|V(G)| + \varepsilon)$
Po odebrání přidaných vrcholů a bran získáme
faktorámu G o relativní $\frac{1}{2}(|V(G)| + \varepsilon) - \varepsilon = \frac{1}{2}(|V(G)| - \varepsilon)$

Proč G' splňuje TP?

\rightarrow nechť $A \subseteq V(G')$, určime $\text{ODD}(G'-A) \leq |A|$

① všechny nové vrcholy jsou mimo A

\rightarrow pokud rozdělíme A jaro $A = S \cup N$, kde $S \subseteq V(G)$ a $N = \text{Nové}$

$$\circledast \text{ODD}(G'-A) = \text{ODD}(G-S)$$

$$\circledast \text{ODD}(G'-A) - |A| = \underbrace{\text{ODD}(G-S) - |S|}_{\varepsilon} - \underbrace{|N|}_{\varepsilon} \leq \varepsilon - \varepsilon = 0 \Rightarrow \text{ODD} \leq |A|$$
$$\leq \text{defect}(G) = \varepsilon$$

② nejaky nový vrchol je mimo A

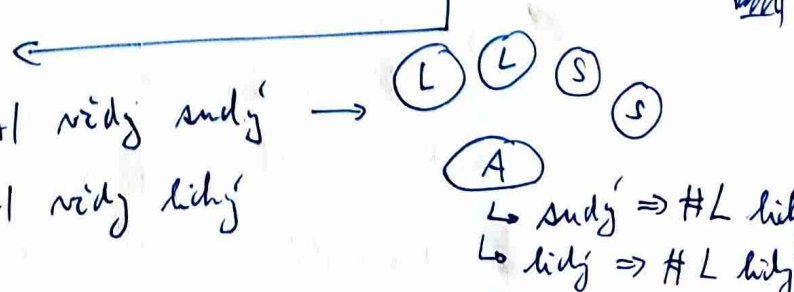
\rightarrow pokud má $G-A$ pouze jednu komponentu (je souvislý),

$$\text{takže mimo } A \quad \text{ODD} \leq 1 \leq |A|$$

Notě: Pokud $|A| = 0$, tak $\text{ODD} = 0 \Leftrightarrow G'$ má všechny přes nové

$\circledast \text{G}'$ má všechny přes nové

- G sudý $\Rightarrow \text{ODD}(G-A) - |A|$ vidí sudý
- G lichý $\Rightarrow \text{ODD}(G-A) - |A|$ vidí lichý



(Jloha): Tuškemá věta \Rightarrow Hallova věta

Věta (Hall): Nechť $G = (X \cup Y, E)$ je bipartitní a pro
 $\forall A \subseteq X : |N(A)| \geq |A|$. Pak \exists pásrování nasycující X .

Důkaz: Z grafu G vytvoříme G' t.d.r.

(*) G má pásrování nasycující $X \Leftrightarrow G'$ má PP

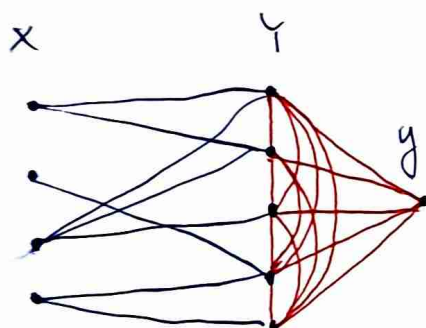
Potom užíváme, že G' splňuje Tuškemá podmínku, tedy má PP.

\hookrightarrow tedy podle (*) jsem vytvořil

Jak vytvořil G' ?

\rightarrow přidávám smyčky $\#$ východů, tedy pokud $|V(G)|$ je lichý, takže druhé polohy \uparrow přidávám východ v matici

\rightarrow myslím $\approx G'[Y]$ odděláme výchý graf ... nás nás \uparrow spojujeme



plach' (*)

\Rightarrow v G' zůstane smyčky přes všechny východy v Y , a $G[Y]$ je elisa
 \Leftarrow necháme si brány zdejší \approx východ X

Nechť G splňuje Hallovu podmínku $\forall A \subseteq X : |N(A)| \geq |A|$.

Tvrzení: Potom G' splňuje Tuškemá podmínku: $\forall S \subseteq V(G') : \text{ODD}(G'-S) \leq |S|$

Důkaz: Nechť $S \subseteq V(G')$. Pokud je $G'-S$ somsmyč, tak všechny plati \uparrow .

\Rightarrow Anděl $G'-S$ se rozpadne na několik komponent

ty komponenty jsou nějaké osamocené východy z X a různy

$A \subseteq X$

$Z = V(G'-S) - A$

\rightarrow jediné východy z A jsou osamocené, až všechny jejich sousedé jsou z S

$\Rightarrow N(A) \subseteq S \Rightarrow |S| \geq |N(A)| \geq |A|$

\rightarrow jediný problém je, že možná byly, když byly $|Z|$ liché

• pokud $|S| > |A|$: až na paritu $|Z|$ nerozdělí

• pokud $|S| = |A|$ $\begin{cases} |A| \text{ lichá} \Rightarrow |S| \text{ lichá} \Rightarrow |Z| \text{ sudá} \\ |A| \text{ sudá} \Rightarrow |S| \text{ sudá} \Rightarrow |Z| \text{ sudá} \end{cases}$

$\hookrightarrow |V(G')| = \text{suda'}$



Charakterizace všechně 3-souvislých grafů

Def: Souvislý graf G je k -souvislý $\Leftrightarrow |V(G)| > k$ & existuje souvislý podgrafem libovolných $k+1$ vrcholů

Lemma (o kontrakované hraničce, LKH): Nechť G je 3-souvislý a nemá K_4 .

Pře G obsahuje hrannu e t.j. G/e je 3-souvislý. $\hookrightarrow \text{dále } |V| \geq 5$

Děl: Sporem, nechť G je 3-souvislý, $G \neq K_4$ & $\text{tree}(G)$: G/e nemá 3-souvislost.

Lemma: Pokud R je minimální řízec nějakého grafu H , pravom
šarida komponenta $H \setminus R$ má hrannu do každého vrcholu R

Děl:  \rightarrow Edgby tam nějaká hrana do $v \in R$ chybila,
takže $R \setminus \{v\}$ by rázec bude iště menší než R

 Pro libovolnou hrannu $e = \{x, y\} \in E(G)$ při její kontraci vznikne G/e ,
který nemá 3-souvislost \Rightarrow obsahuje iště vrcholnost 2

\hookrightarrow tento iště obsahuje ten kontrakovaný vrchol (jinak je to iště iště iště G)

\Rightarrow ta hrannu může od-kontrahovat \Rightarrow rázec iště vrcholnosti 3 v G

Důsledek: Pro $\forall \{x, y\} \in E(G) \exists z \in V$, t.j. $\{x, y, z\}$ může iště G

\hookrightarrow navíc podle lemmatu $\forall e \in E(G)$ komponenty $G \setminus \{x, y, z\}$ nemají hrannu do x, y i.z.

\Rightarrow Nechť $x, y, z \in V$ t.j. $\{x, y\} \in E$ a $\{x, y, z\}$ je iště

Nechť C je nejmenší komp. $G \setminus \{x, y, z\}$ ve všechny rozběr C, x, y, z

\Rightarrow z lemmatu $\exists u \in C$ spojující C s z .

\Rightarrow nechť $f := \{u, z\}$ a $z_f \in V$ t.j. $\{u, z, z_f\}$ je iště

\Rightarrow nechť D je komponenta $G \setminus \{u, z, z_f\}$ neobsahující x ani y

$\hookrightarrow D$ existuje $\because G \setminus \{u, z, z_f\}$ má alespoň 2 komponenty & x, y jsou spojeni
hrannou

Claim: $D \subseteq C$. \rightarrow spor s minimálností C

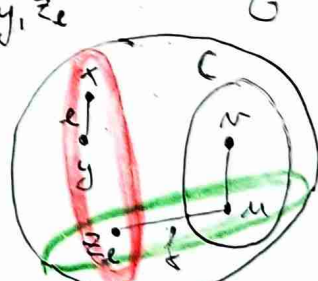
\hookrightarrow z lemmatu $\exists v \in D$ t.j. $\{u, v\} \in E$

\hookrightarrow  $v \in C$, protože uv je hrannu iště $\{x, y, z\}$ nerovní

\rightarrow jíž by iště byly sjednocitelné ... D se nemohlo poddělit po straně $x, y \notin D$

$\Rightarrow D$ je komponenta $G \setminus \{x, y, z, z_f, u\}$, tedy $D \subseteq C \setminus \{u\}$

\hookrightarrow Edgby uv D bylo něco méně, takže to musíme přidat do C



Věta (Tutteova charakterizace 3-souvislých grafů): G je 3-souvislý \Leftrightarrow

\exists posloupnost grafů $K_4 = G_0, G_1, \dots G_m = G$ až.

① $\forall G_i$ má minimální stupeň ≥ 3

② $\nexists G_{i-1}$ vznikne z G_i kontrakční hrany



Důkaz: \exists kde lze indukce vygenerovat všechny 3-souvislé grafy

Prv: \Rightarrow : Pokud G_i je 3-souvislý, pak aplikační LKH dostane

G_{i+1} který je také 3-souvislý ... Tedy musí mít min stupeň ≥ 3

\hookrightarrow rozšiřování se až na K_4 ... nejmenší 3-souvislý graf

\Leftarrow : Indukční vnitřní řešení grafu v posloupnosti je 3-souvislý

1) $G_0 = K_4$ je 3-souvislý

2) Nechť G_{i-1} je 3-souvislý a nechť pro graf G_i nemá. $G_{i-1} = G_{i-2}$
 $\Rightarrow \exists$ rámec $\{x, y\}$ grafu G_i

a) $\ell = \{x, y\}$... po kontraci ℓ je rámec velikosti 1 v G_{i-1}

b) $\ell \cap \{x, y\} = \emptyset$... po tom $\{x, y\}$ je rámec velikosti 2 v G_{i-1}

c) $\ell = \{x, z\}, y \notin \ell, x \notin \ell$



\hookrightarrow rozšiřování se na komponentu $G_i \setminus \{x, y\}$ obsahující $z \rightarrow c$

\hookrightarrow a co se stane s tím rámec po kontraci hrany

1) $c = \{z\}$... po tom $\deg_{G_i}(z) \leq 2$ \hookrightarrow

2) $|c| \geq 2$... po tom po kontraci hrany c komponenta c nemaněme

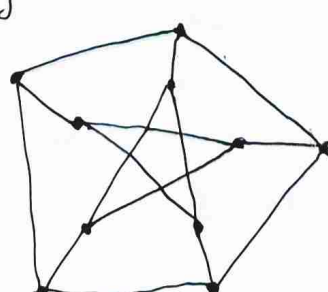
$\Rightarrow \{x, y\}$ je rámec velikosti 2 v G_{i-1} \hookrightarrow

Zajímavé 3-souvislé grafy

K_4



minimální
3-souvislý graf



Petersenov graf

\rightarrow pravidelnost na hodně méně

Minor grafů

Def: Graf G je minorem grafu H (H obsahuje G jako minor), $G \leq H$

$\equiv G$ lze vytvořit z H pomocí operací

merání vrcholů, merání bran, kontrakce bran

\leq je částečně uspořádání na sítidlo všech grafů

\hookrightarrow reflexivní, antisymetrický, transitivní

dilatice
na stránky
stránek

Věta (Robertson - Seymour): \leq je well-quasi-ordering grafů

Def: Konečně uspořádání (reflexivní a transitivní) \leq množiny X je dobré \equiv

\forall kardinalitně různé $Y \subseteq X$ existují dva rozdílné prvky

Dusledeček: Každá $Z \subseteq X$ má konečně mnoho minimálních prvků.

\hookrightarrow tedyby neměla, totéž vytvořím nekonečnou $Y := \{x \in Z \mid x \text{ je minimální v } Z\}$

$\hookrightarrow Y$ obsahuje samé minimální prvky \Rightarrow nejsou rozdílné

Intuice: Měli jsme větu G je rovinatý \Leftrightarrow neobsahuje K_5 ani $K_{3,3}$

\hookrightarrow díky Graph minor theorem plati něco podobného obecně

\rightarrow nechť \mathcal{T} je sítida grafů uspořádána na minory (Gromov) $\Rightarrow H \leq G$ rovnatý

\Rightarrow Potom sítida všech grafů bude \mathcal{T} má konečně mnoho minimálních prvků

\rightarrow můj graf G a \mathcal{G} chci zkontrolovat rda $G \in \mathcal{T}$

zařízené grafy

\Rightarrow zkontroluju jestli nějaký ze zařízených grafů je minor G

\hookrightarrow pokud ano ... potom $G \in \mathcal{G} \setminus \mathcal{T}$, kde \mathcal{G} je sítida všech grafů

\hookrightarrow pokud ne ... potom $G \notin \mathcal{G} \setminus \mathcal{T}$, tedy musí být $G \in \mathcal{T}$

Věta (Graph minor theorem): Každá sítida grafů $H \subseteq G$, uspořádána na minoru, je určena konečným počtem zařízených minorů.

Tedy existuje konečná $F \subseteq \mathcal{G}$ s. i. $H = \{G \in \mathcal{G} \mid F \in \mathcal{F} \Rightarrow F \leq G\}$

Minor a rovinnost

⊗ Před $G \leq H$ a H je rovinný, pak G je také rovinný

⊗ K_5 a $K_{3,3}$ nejsou rovinné

Věta (Kuratowski-Wagnerova): Následující podmínky jsou ekvivalentní.

- ① Graf je rovinný topologický minor
- ② Graf neobsahuje dílemí K_5 ani $K_{3,3}$ jako podgraf ... Kuratowski
- ③ Graf neobsahuje K_5 ani $K_{3,3}$ jako minor ... Wagner

Dle:

⊗ ① \Rightarrow ②, ① \Rightarrow ③, ⊗ ③ \Rightarrow ②: oběma: dílemí je podgraf \Rightarrow minor ✓

② \Rightarrow ① nemá triviální a některého podgrafu

③ \Rightarrow ① indukčně podle # vrcholů

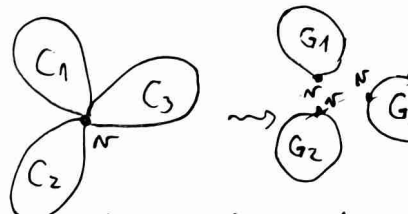
\rightarrow rozbor případů podle $K_r(G) :=$ stupeň vrcholové souvislosti

1) $K_r(G)=0$... G není souvislý & neobsahuje K_5 ani $K_{3,3}$ jako minor

$\rightarrow G$ se skládá z nejednotlivých komponent  , v je menší než G a také neobsahuje K_5 ani $K_{3,3}$ jako minor

\rightarrow v indukčním předpokladu jsou rovinné $\Rightarrow G$ je také rovinný

2) $K_r(G)=1$... 3 artikulace := vrchol pro jehož odstranění se G rozpadne



1. odstraníme $v \Rightarrow$ komponenty C_1, \dots, C_3

2. drž komponentu G_i přidáme v opět $\Rightarrow G_1, \dots, G_2$

3. z I.P. 3 rovinné subreslénem G_1, \dots, G_2

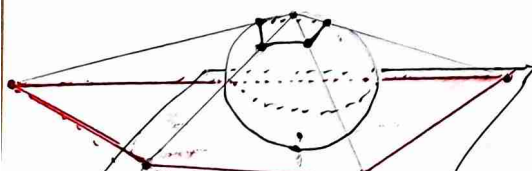
4. recall: kruhovou inversive je možné rozbiti nejjišti stěnu na dvě části

\Rightarrow všechny G_i nařeslíme tak aby v byl na okraji

\hookrightarrow rozohřime libovolnou stěnu incidentní s v jako nejjišti

5. nařeslení G_1, \dots, G_2 euse klepíme dohromady

Kruhová inversive

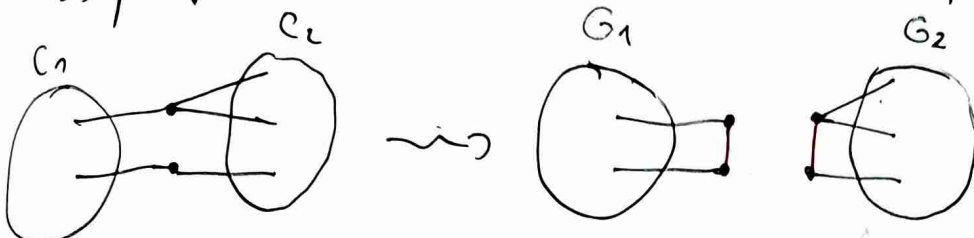


1. graf nařeslim na sféru tak, aby severní pól byl novou stěnou, co má být nejjišti

2. graf promítan na plátno

3) $K_{Nr}(G) = 2$

- $\exists x, y \in V(G)$ - t.ř. po jejich odstranění se G rozpadne
- pro jednoduchost existují maximálně 2 komponenty



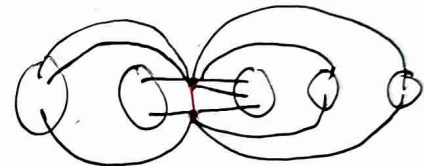
1. graf rozpadne má komponenty a do každé přidám hranu xy → G_i
2. G_i jsou menší než G ⇒ makreskem je tak, aby xy byla na vnejší stěně a mergne dohromady

! nemůže se slát že po přidání xy do C_i vznikne $K_{3,3}$ nebo K_5 ?

↳ ne, protože $G_i = C_i + xy$ rjeme méně můžu rovněž makreskem & ① ⇒ ③

→ co když je komponent něč?

→ něč se nemění, tak funguje stejně



4) $K_{Nr}(G) \geq 3$

→ G 3-souvislý a neobsahuje K_5 ani $K_{3,3}$ jako minor

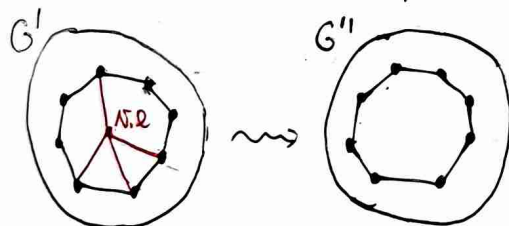
Lokál: $G = K_4$... ▲ umíme makreskem

G má entrahovatelnou hranu a t.ř. G je také 3-souvislý

⇒ nechť $G' := G \cdot l$... $G' \leq G \Rightarrow G'$ neobsahuje K_5 ani $K_{3,3}$ jako minor

→ rozdíl $|V(G')| = |V(G)| - 1 \Rightarrow G'$ umíme makreskem → chceme makreskem G

⇒ nechť G'' je G' po odstranění vrcholu n.č. = vrchol co vznikal kontrakcí



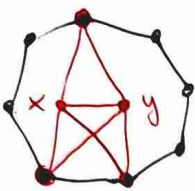
! vrchol n.č. je nezávistný a nejdále stěně
↳ pokud je to vnejší stěna, tak z ní vzniknou projekce udeľující vnitřní stěny

Závěrem: G' je 3-souvislý, tedy G'' je 2-souvislý.

Lemma o nich: G je 2-souvislý \Leftrightarrow lze rybiti z hranice přidávaním vrcholů

→ chceme dovršit se hranicí makreskem hranu $e = xy$

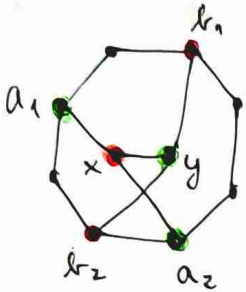
→ nechť $e = xy$, $N(x) = \text{soused} x$, $N(y) = \text{soused} y$



1, $N(x) \cap N(y) \geq 3$

→ nenašané \Leftrightarrow je podrozdielení K_5

→ 5 vrcholů stupně 4 & množina je hranově disjunktna



2) 3 překřížení hran

$\hookrightarrow \exists a_1, a_2 \in N(x), b_1, b_2 \in N(y)$

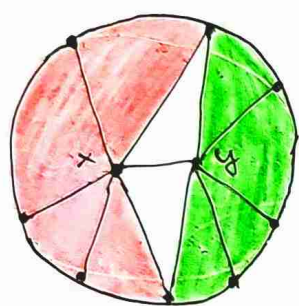
t.j. v pravidle kružnice dostala a_1, b_1, a_2, b_2

→ nenašané \Leftrightarrow je podrozdielení $K_{3,3}$ $(x, b_1, b_2) \times (y, a_1, a_2)$

3) poslední situace je že se sousedi nesetkávají

1. načerstvíme x a připojíme $N(x)$ v pravidle kružnice

y lze načerstvit určitě jinde středem kružnice než v rozdelení



Minor a topologické minory

Def: Graf H je topologickým minorem grafu G , $H \leq_T G \Leftrightarrow G$ obsahuje podrozdielení H jako podgraf.

Věta: $H \leq_T G \Rightarrow H \leq G$

\hookrightarrow máme podrozdielení H co je podgraf G

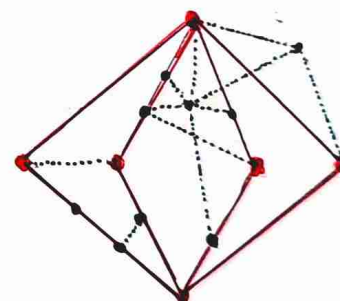
\rightarrow namálujíme vrcholy a vnitřek, které rozdělily hranu x v G odpovídající hranám x v H

\rightarrow člení minorování něpravami a dělá $H \leq G$

1. smazíme neporušit vrcholy G

2. smazíme neporušit hranu x vedoucí mezi zbylymi vrcholy

3. rekonstrukce hran



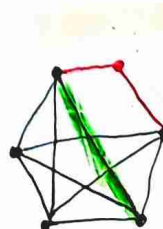
Věta: $H \leq G \not\Rightarrow H \leq_T G$... aležou důkaze ne



kontrukce \rightarrow dostala $K_5 \Rightarrow K_5$ je minor

když podrozdielení K_5 aby měla 6 vrcholů, tak s nímž není izomorfni

$\Rightarrow K_5$ není soft-minor

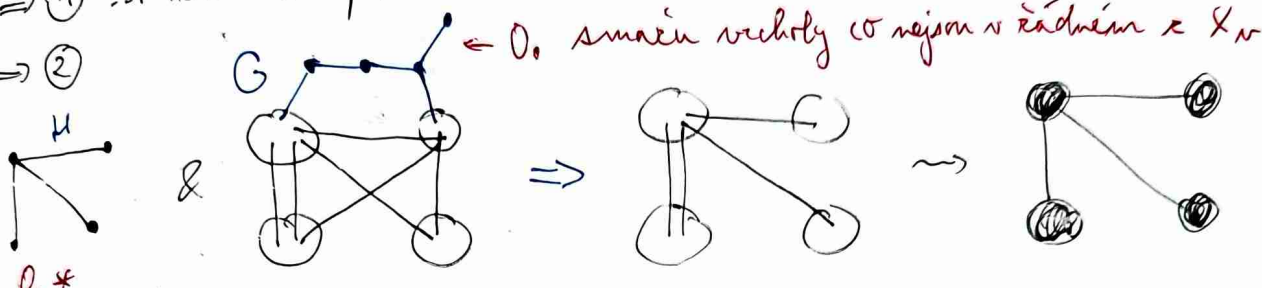


Věta: Ekvivalentní definice minoru. $H \leq G \Leftrightarrow$

- ① H lze získat z G kontrakcemi bran a mazáním vrcholů a bran
- ② H lze získat z podgrafu G kontrakcemi bran (nejprve mazání, potom kontrahace)
- ③ $\exists \{X_v \subseteq V(G) \mid v \in V(H)\}$ t.j. $X_i \neq \emptyset$ & $X_i \cap X_j = \emptyset$ t.j.
všechny $G[X_v]$ jsou souvislé & $uv \in E(H) \Rightarrow \exists$ brana mezi X_u a X_v

Důkaz: ② \Rightarrow ① ... stručné plati'

③ \Rightarrow ②



1. smazané hrany mezi X_v aby plnilo: $uv \in E(H) \Leftrightarrow \exists$ brana $X_u \leftrightarrow X_v$
 2. kontrahují všechny hrany mezi všech X_v
- \rightarrow set' máme graf na stejném počtu vrcholů & \rightarrow je izomorfic s H

① \Rightarrow ③

- máme flexibilitu operací když jsi jen z G vytvořil H
- nejdřív rozložit G aby byl splněno podmínka ③

1. Pro $\forall v \in V(H)$: $X_v \leftarrow \{v\} \Rightarrow$ musíme jen zachovat souvislost X_v

2. Přepíšeme procházej operace ... tedy z H vyražíme G

• přidání hrany ... X_v se nemění

• přidání vrcholu w ... nepřidáme bož dr žádne X_v

\Rightarrow relace byl branou je zachována a souvislost neruší

• rozložení vrcholu w na brany uv \rightarrow funkce w nemá v žádne X_v ,
nic neděláme

$$\Rightarrow X_w \leftarrow X_{wv} \setminus \{wv\} \cup \{u, w\}$$

■

Poznámka: Vrcholově disjunktní souvislé podgrafy $\{X_v\}_{v \in V(H)}$ se nazývají branch sets.

Důkaz: Při práci s minory můžeme předpokládat že nejdřív proběhlo mazání
mazání a až potom všechny kontrakce.

→ mazání G jeho podgrafem když jsi mazal pro získání H

→ tento podgraf můžeme rozdělit na branch sets X_v

∅ bude plativ $uv \in E(H) \Leftrightarrow \exists$ brana mezi X_u a X_v

↳ ref. důkaz ③ \Rightarrow ②, ale díláme jenom rozložení vrcholu w na brany uv

Věta: $H \leq G \Leftrightarrow H \leq_T G$ $\Leftrightarrow \Delta(H) \leq 3$... $\Delta(H) := \max_{v \in V(H)} \deg(v)$

Důkaz: Víme, že $H \leq G \Leftrightarrow H \leq_T G$. Stáčí následovný minor \Rightarrow topo-minor

$\hookrightarrow (H \leq G \wedge \Delta(H) \leq 3) \Rightarrow H \leq_T G$

$\rightarrow H \leq G$, tedy H lze vložit do podgrafen G kontrakční branou, označme jej G'

\rightarrow vyrobíme F , podgraf G' t.j. F je podrozdělení H , tedy $H \leq_T F \leq_T G' \leq_T G$

1. najdi rozklad: $R = \{X_v \subseteq V(G') \mid v \in V(H)\}$ grafu G' podle předchozí věty

\circlearrowleft jestliže H vznikne z G' kontrakcí jednotlivých X_v , třeba

$\forall v \in E(H) \Leftrightarrow \exists$ brana mezi X_u a X_v

2. pro $\forall X_i$ označ všechny vrcholy $v \in X_i$,

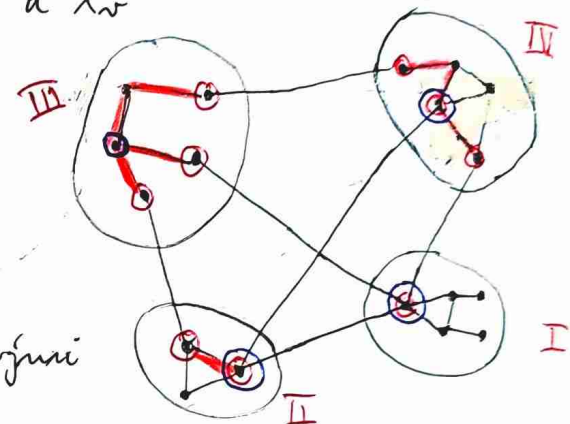
se kterých jede brana není

3. pro $\forall X_i$ najdi minimální strom v X_i

s.t. obsahuje všechny označené vrcholy X_i

4. spojení sedmi stromů branami mezi jednotlivými

X_i označme F . Zajímá F je podgraf G'



\Rightarrow uvažme, že počet $\Delta(H) \leq 3$, tedy F je podrozdělení H , tedy $H \leq_T G$

\rightarrow pro $\forall X_v$ najdeme v jeho strom centrální vrchol v^* t.j.

(jednoznačné určení) cesty z v^* do označených vrcholů jsou branou disjunktní

\Rightarrow nejméně mezi dvěma centrálními vrcholy v^*, v^{**} t.j. $\forall v \in E(H)$ vyrobíme cestu

\circlearrowleft tyto cesty jsou branou disjunktní a dohromady tvoří podrozdělení H

Hledání centrálních vrcholů ... $\Delta(H) \leq 3$, tedy $\forall X_v$ #označených vrcholů $\leq \deg(X_v) \leq 3$

I. • 1 vrchol: první vyberu tento jediný vrchol ($\# \text{stromu} = 1$)

• 2 vrcholy: min. strom = nejkratší cesta mezi nimi

a) $\deg(X_v) = 2$... vyberu libovolný vrchol na cestě

II. b) $\deg(X_v) = 3$... vyberu ten krajní vrchol; který byl označen obdobně

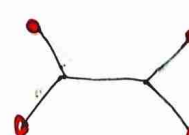
• 3 vrcholy: \circlearrowleft strom má nejvíce 3 listy (normální listy lze snadno)

III. a) # listů = 3: $\exists!$ vrchol stupeň 3 \Rightarrow vyberu jeho

IV. b) # listů = 2: vyberu označený vrchol co nemá listem

(Co kdyby $\Delta(H) > 3$?)

\rightarrow centrální vrchol nemusí existovat



Dodešláří důkaz Kwantowski - Wagner

→ ještě přetváříme maticu $\textcircled{2} \Rightarrow \textcircled{3}$, tedy

G neobsahuje K_5 ani $K_{3,3}$ jdeho topo-minor $\Rightarrow G$ neobsahuje K_5 ani $K_{3,3}$ jdeho minor

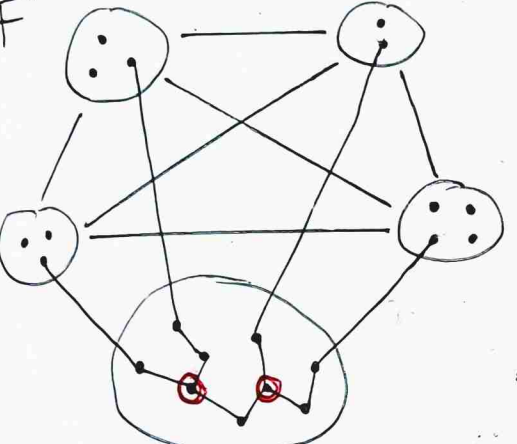
obecně: $K_{3,3} \leq G \vee K_5 \leq G \Rightarrow K_{3,3} \leq_T G \vee K_5 \leq_T G$

→ ještěž $\Delta(K_{3,3}) = 3$, tak prodej předchozí věty máme $K_{3,3} \leq G \Rightarrow K_{3,3} \leq_T G$

\Rightarrow staci' maticat $K_5 \leq G \Rightarrow K_5 \leq_T G \vee K_{3,3} \leq_T G$. note: $K_{3,3} \leq G \Leftrightarrow K_{3,3} \leq_T G$

→ udeláme stejnou konstrukci jako v důkazu předchozí věty, s tím že $H = K_5$

→ najdeme rozložení vhodného podgrafu G' a v každém branch setu minimální strom

F  \Rightarrow nechť F je sjednocením těch stromů a kromě moci nimi

→ potom pro T stromecík 3 centrální vrchol,

tak stejnou logiku jde v minulém důkazu $K_5 \leq_T G$

→ potom 3 stromecík kde $\not\exists$ centrální vrchol, tak musí obsahovat právě 2 vrcholy stupně 3

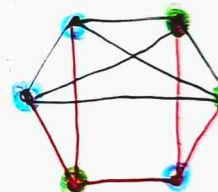
\Rightarrow můžeme, že potom $K_{3,3} \leq G$

1. tento složitý stromecík skontrahujeme aby různé povaze byly dvou vrcholy

2. ostatní stromy skontrahujeme do jediného vrcholu

3. následně siřáme $K \leq F$ t.j. $K_{3,3} \leq K$

\Rightarrow tedy $K_{3,3} \leq K \leq F \leq G \Rightarrow K_{3,3}$ je minor G



Kreslení grafů na plochy

→ nemáme topologii, takže něčeho bude totéž polynomické & funkce v \mathbb{E}_n

Def: Nechť $X \subseteq \mathbb{R}^m$, $Y \subseteq \mathbb{R}^m$. Funkce $f: X \rightarrow Y$ je homeomorfismus =
 f je bijekce a $f \circ f^{-1}$ jsou spojité.

Def: X, Y jsou homeomorfní = mají nimi \exists homeomorfismus

Fakt: Všechny topologicky důležité vlastnosti se v homeomorfických prostorech chovají stejně

Def: Plocha je neprázdná $P \subseteq \mathbb{R}^m$, která je

① kompaktní ... uzavřená a omezená (jeme v \mathbb{E}_n)

② obloukově souvislá ... pro $a, b \in P \quad \exists$ křivka co je spojuje

↳ $\exists \psi: [\alpha, \beta] \rightarrow P$ t.č. ψ je spojitá & $\psi(\alpha) = a$ & $\psi(\beta) = b$

③ 2-rozměrná varieta ... dostatečně malé okolí $\forall a \in P$ je homeomorfní
bez hraniče s otevřeným kruhem v \mathbb{R}^2

Příklady

• \mathbb{R}^2 není plocha ∵ není omezená

• Otevřený kruh $\sim \mathbb{R}^2$ není plocha ∵ není uzavřená

• uzavřený kruh $\sim \mathbb{R}^2$ není plocha ∵ není bez hraniče



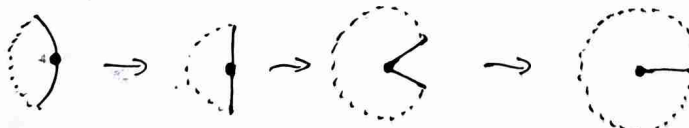
→ uzavřené nějaký bod na hraniči a jeho kruhové okolí

→ musíme udělat homeomorfismus s nějakým otevřeným kruhem

○ ↪ ○ as i je jasné že problém lze s tím uzavřeným okrajem

↳ otevřený okraj zřejmě musíme namapovat nějakam dovnitř

⇒ aby to bylo spojité, tak tu musíme mít i vnitřek podél "okruhu"



→ problém je, že innému zobrazení nebude spojité

recall: $f: X \rightarrow Y$ je spojité $\Leftrightarrow \forall B \subseteq Y$ otevřeném je $f^{-1}(B) \subseteq X$ otevřená

→ zkusíme zrobocit řepit nějakou

otevřenou mísínu co obsahuje svou šrou

→ nerobosí se to na otevřenou mísínu

jakož lze obzahvat kus té uzavřené hraniče



Důsledek: Žádna $A \subseteq \mathbb{R}^2$ není plocha použitím stejně argumentace.

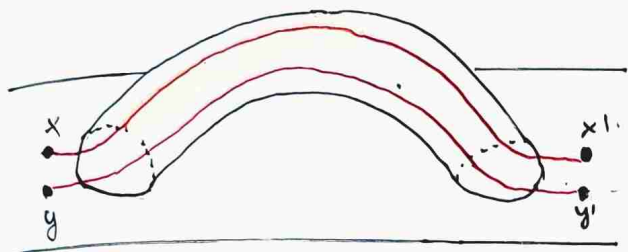
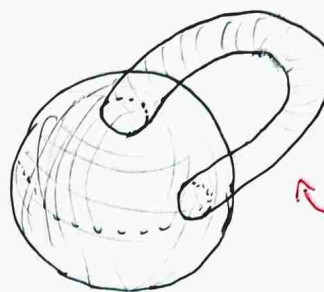
sféra nebo torus v \mathbb{R}^3 jsou plochy

Operace s plochami

① přidání ucha (od hrany)

1. vyříznou dva kruhy
2. nejméně pláště valce bez dna a vrchu
3. ohnou a přilepíme na díry po kružnicích

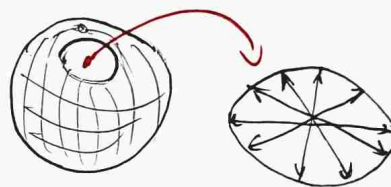
→ sohle nemá plocha :: bude nějak
zavřený nebo nemá být hraniční



→ chová se tak jako teleport, kde přidá vrcholič na obou stranách je opačné

② přidání kružnice (cross cap)

1. vyříznou kruh
2. sesijí díru kružnic

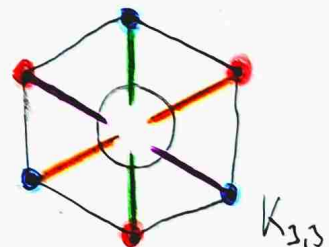
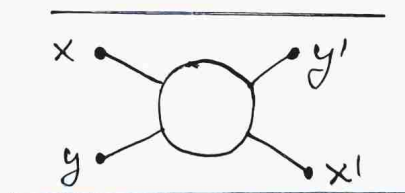
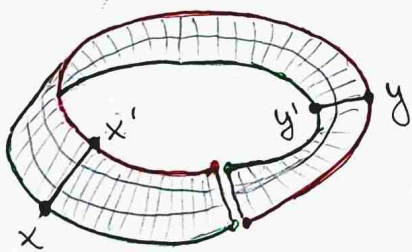


→ výsledek je že když vlezem do "kruhu", tak se rourou vstupu na druhé straně

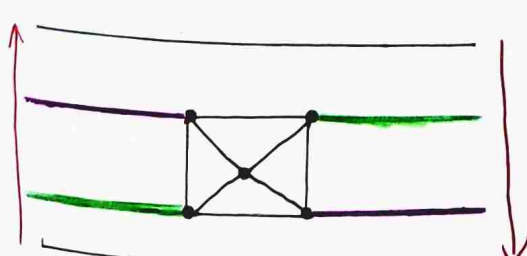
→ sohle je topologicky ekvivalentní toru, když bychom na hraniční díry přišli Möbiusova proužek ... jeho hraniční je top. ekv. kružnice

⇒ když si nezmění Möbiusův proužek s hraniční délkou l , stoupnu si na jeho hraniční a ujdou $l/2$, tak jsem na "opačné straně" proužku

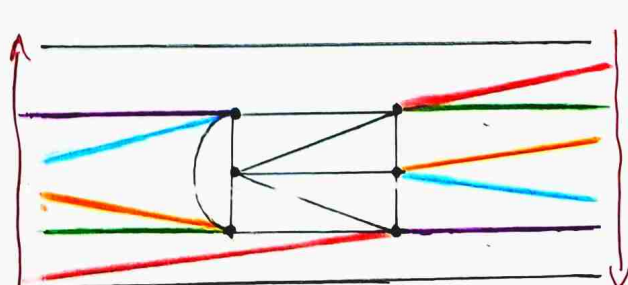
⇒ při kreslení hrany grafu prošel jdu rourou a tím se "teleportuji" na druhou stranu



Möbiusova páska - obdélník, kde jsme slepili opačné hrany obráceně



K_5



K_6

Charakterizace ploch

Def: $\Sigma_g :=$ plocha vzniklá ze sféry přidáním g krátk, $g \geq 0$.

$\hookrightarrow \Sigma_0 =$ sfera, $\Sigma_1 =$ torus, $\Sigma_2 =$ dvojtorus 

Def: $\Pi_g :=$ plocha vzniklá ze sféry (Σ_0) přidáním g krátk, $g \geq 1$.

$\hookrightarrow \Pi_1 =$ projektivní rovina, $\Pi_2 =$ Kleinova láhev

Fakt: Kardinalita plocha je homeomorfická pravě jedné ploch

$$\Sigma_0, \Sigma_1, \Sigma_2, \dots \quad \Pi_1, \Pi_2, \Pi_3, \dots$$

Fakt: Kardinalita plocha vzniklá Σ_0 přidáním $k \geq 1$ krátk a $n \geq 0$ je Π_{k+2n} .

Def: Nakreslení grafu $G = (V, E)$ na plochu Γ je robozrení $\varphi: V \cup E \rightarrow \Gamma \cup 2^\Gamma$ t.j.

① každému $v \in V$ přiřadí bod $\varphi(v) \in \Gamma$

② každé hraničce $xy \in E$ přiřadí prostor souboru $\varphi_{xy}: [\alpha, \beta] \rightarrow \Gamma$, $\varphi_{xy}(\alpha) = x$, $\varphi_{xy}(\beta) = y$

③ $(\forall x, y \in V): x \neq y \Rightarrow \varphi(x) \neq \varphi(y)$

④ $(\forall e \in E)(\forall v \in V): \varphi(v) \in \varphi(e) \Leftrightarrow v \in e$

⑤ $(\forall e, f \in E): \varphi(e) \cap \varphi(f) = \{\varphi(v) \mid v \in e \cap f\}$

Fakt: Existuje koncová množina M (která se nevná) grafu t.j.

G nemá nakreslení na torus $\Leftrightarrow (\exists M \in M): M \leq G$.

Note: Toto je důkaz Graph minor theorem \because grafy nakreslitelné na torus jsou uzavřené na minory

Eulerova formule

Věta: Pokud je souvislý graf G nakreslitelný na Σ_0 , pak $\text{v}(G) - \text{e}(G) + \text{f}(G) = 2$.

\rightarrow co bychom dali na torus?

$$\Sigma_0 \quad \begin{array}{l} v=3 \\ e=3 \\ f=2 \end{array}$$

$$\Sigma_1 \quad \begin{array}{l} v=3 \\ e=3 \\ f=2 \end{array}$$

$$\begin{array}{l} v=3 \\ e=3 \\ f=2 \end{array}$$

$$\begin{array}{l} v=3 \\ e=3 \\ f=1 \end{array} !$$

Def: Síla nakreslení ℓ grafu $G = (V, E)$ na plochu Γ je souvislá komplementární množiny $\Gamma - \varphi[V] - \cup \varphi[E]$.

Def: Nakreslení grafu G na plochu Γ je buněkové \equiv $\#$ síla je homeomorfické \mathbb{R}^2

Def (Eulerova charakteristická funkce): Pro plochu Γ definujeme

$$\chi(\Gamma) = \begin{cases} 2-g, & \text{pokud } \Gamma \cong \mathbb{T}^g, g \geq 1 \\ 2-2g, & \text{pokud } \Gamma \cong \Sigma_g, g \geq 0 \end{cases} = 2-\#\text{kružnic} - 2\#\text{vní}$$

Věta (Zobecněná Eulerova formula): Pro kružně namráslený graf G na plochu Γ platí $v(G) - e(G) + f(G) \geq \chi(\Gamma)$. Pro bánkové namráslení plochy rovnost.

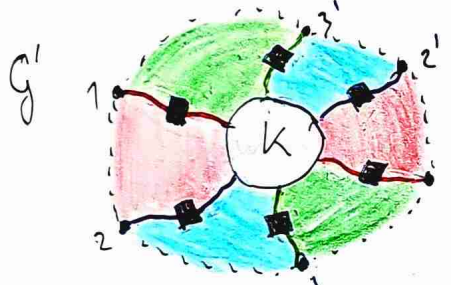
Důkaz indukce podle $\chi(\Gamma)$ → dleající indukce, $\max \chi = 2$

1, $\Gamma \cong \Sigma_0$... základní Eulerova formula ... $\chi(\Sigma_0) = 2$

2) přidání kružnice

Nechť G je bánkové namráslený graf $G = (V, E)$ na Γ a K je kružnice $v(G)$

1, Nechť G' , G' vzniknou z G, G podrozdělením tříhranu procházejícího K - před i za K
 → něco náročného tam musí být, aby to bylo báňko
 ↳ stejný homeomorfismus \mathbb{R}^2



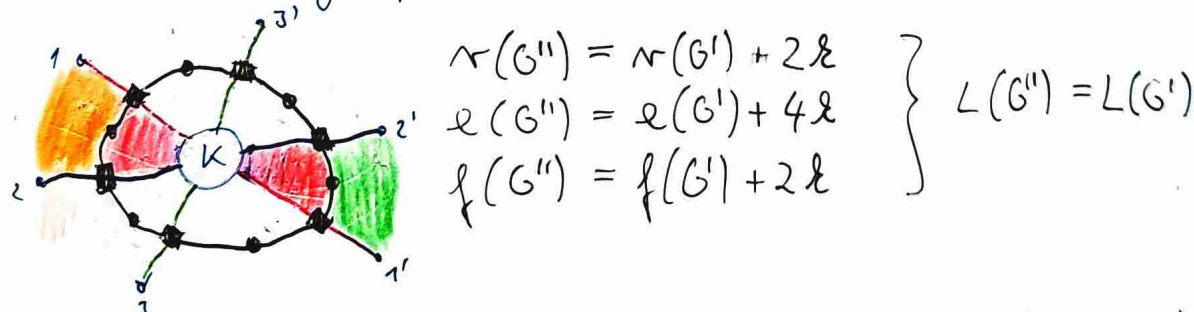
→ musíme nechat preskládat se Möbiusov povrch
 → schovat v horní kružnici

→ $\ell := \# \text{hran procházejících } K \rightarrow \text{na obrátku } \ell = 3$

$$\begin{aligned} v(G') &= v(G) + 2\ell & f(G') &= f(G) \\ e(G') &= e(G) + 2\ell & L(G') &= L(G) \end{aligned}$$

$$L(G) := v(G) - e(G) + f(G)$$

2) Nechť G'', G'' vzniknou z G', G' přidáním kružnice na nich nových vrcholek
 a následujícím podrozdělením hraničních kružnic



$$\left. \begin{aligned} v(G'') &= v(G') + 2\ell \\ e(G'') &= e(G') + 4\ell \\ f(G'') &= f(G') + 2\ell \end{aligned} \right\} L(G'') = L(G')$$

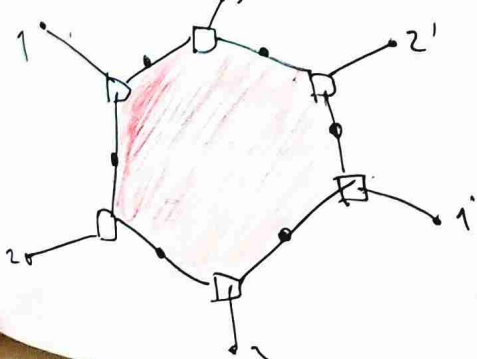
3, Nechť G''', G''' vzniknou z G'', G'' smazáním vrcholu nové kružnice
 a odebráním kružnice (reverse operace přidání)

↳ souběžné namráslení & jsme přišli o kružnice
 ⇒ χ stoupla o 1 ⇒ můžeme použít indukční představu

$$\text{IP: } L(G''') = \chi(\Gamma') = \chi(\Gamma) + 1$$

$$\left. \begin{aligned} v(G''') &= v(G'') \\ e(G''') &= e(G'') - \ell \\ f(G''') &= f(G'') + 1 - \ell \end{aligned} \right\} L(G''') = L(G'') + 1$$

$$\left. \begin{aligned} L(G'') &= \chi(\Gamma) \\ L(G') & \\ L(G) & \end{aligned} \right\} L(G'') = \chi(\Gamma)$$



3) Přidání ucha

- náplně stejná konstrukce, ale museli bychom ji provést obdobně
 - ↳ chceme rovnat rozdíl mezi dvěma místy kde se ucho napojuje na Γ
- \Rightarrow na konci bychom dostali $L(G'') = L(G) + 2$
- \Rightarrow proto je $\chi(\Sigma_g) = 2 - 2g$... pro odčítání ucha χ zvýšíme o 2

Disklekt: Pokud graf G jde makresit na plochu Γ , pak $|E| \leq 3|V| - 3\chi(\Gamma)$

$$\text{Dl: máme } e(G) \leq r(G) + f(G) - \chi(\Gamma) \leq r(G) + \frac{2}{3}e(G) - \chi(\Gamma)$$

↗ + strana má minimálně 3 brány & + hrana je ve 2 stranách $\Rightarrow 2r \geq 3f$

Tvrdění: Nechť $\Gamma \neq \Sigma_0$ je plocha, G je makresitelný na Γ , potom

$$\exists v \in V(G) \quad \text{a.r.} \quad \deg(v) \leq \left\lfloor \frac{5 + \sqrt{49 - 24\chi(\Gamma)}}{2} \right\rfloor \quad \text{Hearwoodova formula}$$

Dk: Průměrný stupeň vrcholu je

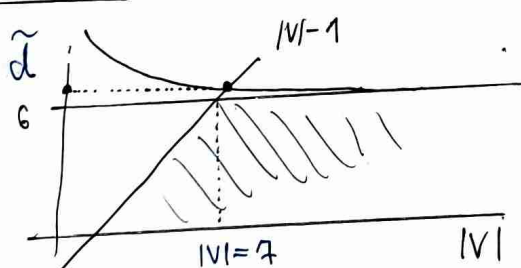
$$\tilde{\alpha} := \frac{2|E|}{|V|} \leq 6 - \frac{6\chi(\Gamma)}{|V|} \quad \text{podle Arhr disklektu máloží}$$

Nyní rozbor případů

$$1) \frac{\chi(\Gamma)}{\chi(\Gamma)} = 1 : \quad \tilde{\alpha} < 6 \Rightarrow \exists \text{ mohlo stupni} \leq 5 \dots 5 \leq \left\lfloor \frac{5 + \sqrt{25}}{2} \right\rfloor = 5 \quad \checkmark$$

$$2) \frac{\chi(\Gamma)}{\chi(\Gamma)} = 0 : \quad \tilde{\alpha} \leq 6 \Rightarrow \exists \text{ mohlo stupni} \leq 6 \dots 6 \leq \left\lfloor \frac{5 + \sqrt{49}}{2} \right\rfloor = 6 \quad \checkmark$$

$$3) \frac{\chi(\Gamma)}{\chi(\Gamma)} < 0 : \quad \tilde{\alpha} \leq 6 + \frac{\text{nebo} > 0}{|V|}$$



\rightarrow zařízme $|V| =: n$
 \rightarrow v nejhorším případě je $\tilde{\alpha} = |V| - 1$
 \Rightarrow celkově
 $\tilde{\alpha} \leq 6 - \frac{6\chi(\Gamma)}{|V|} \quad \& \quad \tilde{\alpha} = |V| - 1$

$$\Rightarrow \tilde{\alpha} \leq 6 - \frac{6\chi}{\tilde{\alpha} + 1} \Rightarrow \tilde{\alpha}^2 + \tilde{\alpha} \leq 6\tilde{\alpha} + 6 - 6\chi$$

$$\tilde{\alpha}^2 - 5\tilde{\alpha} + 6\chi - 6 \leq 0$$

$$\tilde{\alpha}_{1,2} = \frac{5 \pm \sqrt{25 - 24\chi + 24}}{2}$$

Note: $\chi \leq -1 \Rightarrow \Gamma > 5 \Rightarrow \tilde{\alpha}_2 < 0$ což nejde

$$\Rightarrow \tilde{\alpha} = \frac{5 + \sqrt{49 - 24\chi}}{2}$$

$$\Rightarrow \min \deg \leq \tilde{\alpha} \quad \& \quad \min \deg \in \mathbb{N} \Rightarrow \min \deg \leq \left\lfloor \frac{5 + \sqrt{49 - 24\chi}}{2} \right\rfloor$$

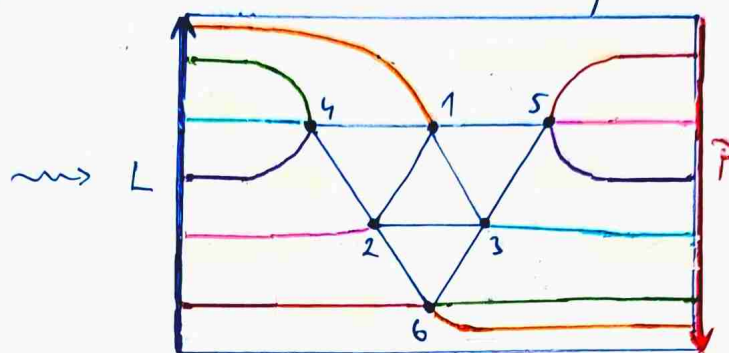
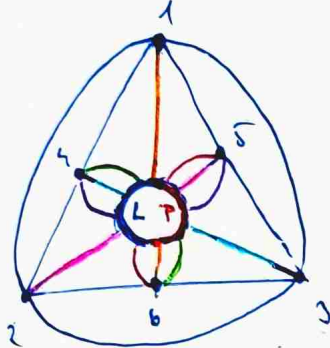
Doddler: Pro Σ_0 soudíme metoda občasného min. degr. ≤ 5 .

$$\hookrightarrow \hat{d} = \frac{2|E|}{|V|} \leq 6 - \frac{6\chi(\Sigma_0)}{|V|} \leq 6 - \frac{12}{|V|} < 6$$

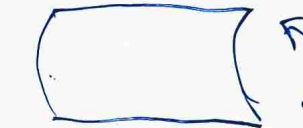
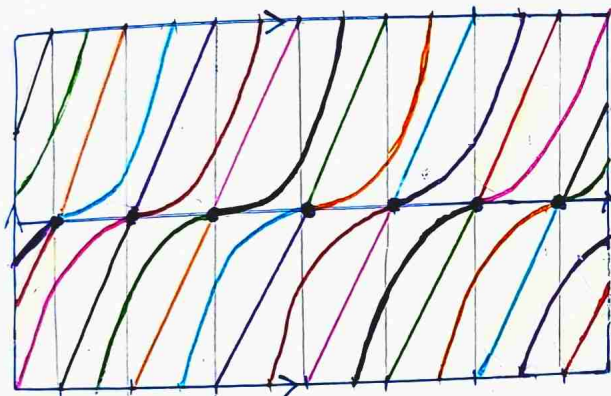
Úlohy

(1) K_6 má projektivní rovnu T_1 .

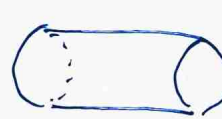
→ Schéma na T_1 je eliptický kreskou na Möbiusovu pásce



(2) K_7 má torus Σ_1



nejprve sklopim
ten obdélník takto



a pak
zavrtí

Recall: Poloha G lze nařešit na $\Gamma' \Rightarrow |E| \leq 3|V| - 3\chi(\Gamma')$

Lemma: Rovnost nastane \Leftrightarrow nařeslení je tříková triangulace

$$\hookrightarrow \text{triangulace} \Leftrightarrow 2e = 3f \quad \& \quad e = N + f + \chi \quad \Rightarrow \quad e = N + \frac{2}{3}f + \chi$$

\hookrightarrow tříkové nařeslení

Lemma: G nemá stříženky $\Rightarrow |E| \leq 2|V| - 2\chi(\Gamma)$

$$\hookrightarrow \# \text{ stěn min. } 4 \text{ hrany } \& \text{ hrana ve 2 stěnách} \Rightarrow 2e = 4f \Rightarrow e = N + \frac{1}{2}f + \chi$$

(3) Jelou nejprvší elipticku lze nařešit na Σ_1 a T_1 ?

\otimes je to tříková triangulace

$$\text{Torus: } e = 3N - 3\chi(\Sigma_1) = 3N - 3 \cdot 0 = 3N \Rightarrow 3N = e = \frac{N(N-1)}{2} \Rightarrow N^2 - 7N = 0 \Rightarrow N = 7$$

\hookrightarrow součetice maximum je 7 což jsme nařešili $\hookrightarrow \underline{K_7}$

$$\text{P. rovna: } e = 3N - 3\chi(T_1) = 3N - 3 \Rightarrow \frac{N(N-1)}{2} = 3N - 3 \Rightarrow N^2 - 7N + 6 = 0 \Rightarrow N = \begin{cases} 1 \\ 6 \end{cases}$$

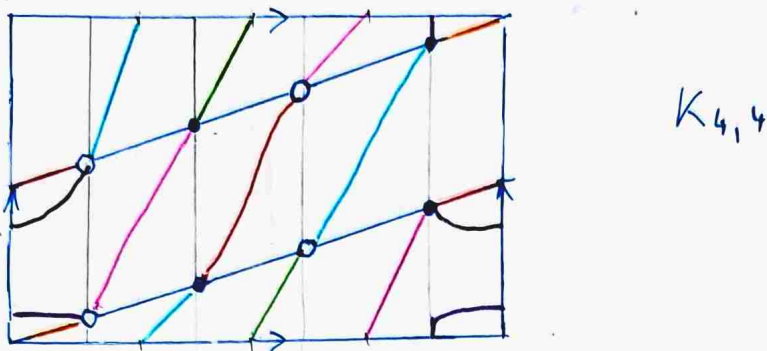
\hookrightarrow součetice max. je 6 což jsme nařešili $\Rightarrow \underline{K_6}$

④ Pro jaké největší m lze na řetez maticovit $K_{m,m}$? $\chi(\Sigma_1) = 0$

⊗ bip. graf \Rightarrow bez $\Delta \Rightarrow$ platí $e \leq 2n - 2\chi(\Gamma) = 2n$

$$e = m^2, n = 2m \Rightarrow m^2 \leq 4m \Rightarrow m(m-4) \leq 0 \Rightarrow m \leq 4$$

\Rightarrow teoretický max. je $m=4$, jde třeba maticovit?



BARVENÍ GRAFU

Def: Vrcholové barvení grafu $G = (V, E)$ je fce $c: V \rightarrow [k]$ t.j. $uv \in E \Rightarrow c(u) \neq c(v)$.

\hookrightarrow vrcholová barevnost $\chi(G) :=$ min. k pro které \exists vhodné barvení

Def: Hranové barvení je fce $c: E \rightarrow [k]$ t.j. $e, f \in E$ & $e \cap f \neq \emptyset \Rightarrow c(e) \neq c(f)$

\hookrightarrow hranová barevnost $\chi'(G) :=$ min. k pro které \exists vhodné barvení

Def: $\Delta(G) =$ max. stupeň, $\delta(G) =$ min. stupeň

⊗ Pro ∇ graf platí $\chi(G) \leq \Delta(G) + 1$.

\hookrightarrow seřadím vrcholy libovolně a barvím \mapsto

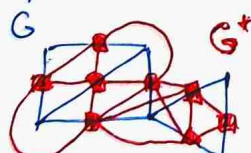
1	2	3	4	5	6	7	8
2	1	3	4	5	6	7	8

Hladké barvení

\hookrightarrow abu něj to vlastní barvení jde vždy, ale tam je vrchol v vede max. $\deg(v)$ hran $\Rightarrow \deg(v)$ sám má barev \Rightarrow všechny jsou nezáškodné

⊗ Pro ∇ graf platí $\chi'(G) \leq 2 \cdot \Delta(G) - 1$

\rightarrow předná barvení hran na barvení vrcholi



$G = (V, E) \rightsquigarrow G^* = (V^* = \bar{E}, E^*)$, $ef \in E^* \Leftrightarrow e \cap f \neq \emptyset$

$\rightarrow G^*$ barvím podle předchozího porovnání

$$\Rightarrow \chi'(G) = \chi(G^*) \leq \Delta(G^*) + 1 = 2(\Delta(G) - 1) + 1 = \underline{2\Delta(G) - 1}$$

Věta (Brooks): Pokud G souvislý, nemá K_m ani C_{2m+1} , pak $\chi(G) \leq \Delta(G)$.

Věta (Vizing): Pro ∇ graf G platí $\Delta(G) \leq \chi'(G) \leq \Delta(G) + 1$.

Df. $\chi(G)$:= relativní největší nezávislá množina G
 $\mu(G)$:= relativní největšího páraváni v G

\circledcirc vrcholová obarvení $G \sim$ rozklady $V(G)$ na (jednobarevné) mc. m.

$\Rightarrow \chi(G)$ má nějaké obarvení \sim rozklad na mc. m. $\Rightarrow \chi \cdot d \geq n$

\circledcirc hranová obarvení $G \sim$ rozklady $E(G)$ na (jednobarevné) páraváni

$\Rightarrow \chi'(G)$ má nějaké obarvení \sim rozklad na páraváni $\Rightarrow \chi' \cdot \mu \geq n$

Tworem: Pro \nexists graf G platí: $\underline{\chi(G) \geq n/\mu(G)}$, $\underline{\chi'(G) \geq n/\mu(G)}$.

Tworem: Pro \nexists graf G platí $|E| \geq \binom{\chi(G)}{2}$.

Df: Nechť $\chi(G) = k$, $C_1 \neq C_2$ barvy ... $C_1, C_2 \in [k]$ rozdělení libovolné

$\circledcirc \exists u, v \in E$ s.č. $c(u) = C_1 \wedge c(v) = C_2$... jinak bychom v této barvě mohly být jenom $\frac{k}{2}$.

Df: Graf G je d-degenerující $\equiv \nexists$ (neprázdny) podgraf $H \subseteq G$ má $\delta(H) \leq d$.

\circledcirc G je d-degenerující \Leftrightarrow má uspořádání vrcholů v_1, \dots, v_m l.r.

$\forall i: \# \text{levých sousedů} = |\{j < i \mid v_i, v_j \in E\}| \leq d$

\Rightarrow vrcholům vrcholů \leftarrow min. stupně slouží k prava dolera \leftarrow

\Leftarrow podgraf H ... součtu na nejpravější vrchol \rightarrow dolera (do H) $\leq d$ hraniční

\circledcirc Pokud G je d-degenerující, pak $\underline{\chi(G) \leq d+1}$

\hookrightarrow obecně libovolné \hookrightarrow podle Lohra uspořádání

Speciálne: $\forall G: \chi \leq \Delta + 1$

Věta (Heawoodova formula): Pokud je G nadresený na plochu Γ , potom

$$\chi(G) \leq \left\lfloor \frac{7 + \sqrt{49 - 24\chi(\Gamma)}}{2} \right\rfloor =: D$$

Df: Předpokl. jeme dokázali že pro $\Gamma \neq \Sigma_0$, $\exists v \in V: \deg(v) \leq \left\lfloor \frac{5 + \sqrt{49 - 24\chi}}{2} \right\rfloor = D-1$

Zároveň \circledcirc když máme vrchol takto nadreslení množství

$\Rightarrow G$ je $(D-1)$ -degenerující

\hookrightarrow libovolný podgraf $H \subseteq G$... pojď mohu mít Γ , pojď většinu plošek

$\Rightarrow \exists v \in V(H): \deg(v) \leq D-1 \Rightarrow \delta(H) \leq D-1$

\Rightarrow podle posledního pojď množství mít plošek mimo $\Gamma \neq \Sigma_0$

Cíl: $\Gamma = \Sigma_0$? $\Rightarrow \chi(\Gamma) = 2$

\rightarrow dosáhneme $\chi(G) \leq \left\lfloor \frac{7+1}{2} \right\rfloor = 4$ což plošku mít může o 4 barvách

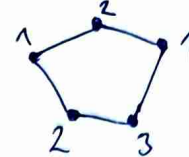
Recall: $\chi(G) \leq \Delta(G) + 1$

Oárra: Když $\chi(G) = \Delta(G) + 1$?

⊗ $\chi(K_m) = m = \Delta(K_m) + 1$

⊗ $\chi(C_{2m+1}) = 3 = \Delta(C_{2m+1}) + 1$

lichá kruivice C_{2m+1}



Véta (Brooks): Pokud je G souvislý, $G \neq K_n$, $G \neq C_{2m+1}$ $\Rightarrow \chi(G) \leq \Delta(G)$.

Díkaz (Loráše - díkazík říjici Matematický matematik)

Lemma: Pokud je G' souvislý a $\delta(G') \leq \Delta(G)$, potom $\chi(G') \leq \Delta(G)$.

Díkaz: G' je $(\Delta-1)$ -degenerováný

\rightarrow Edyž některý vrchol s min. degr. 1 je re spojeností smířela nějaká hrana

\Rightarrow v tomto nejméně grafu existuje 3 vrchol s degr. $< \Delta(G)$

\Rightarrow postupným strháváním postupně sprava do obecnějšího uspořádání

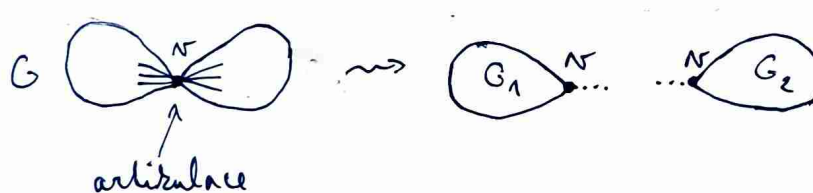
Díkaz výhy: Rozborem případů ... G souvislý, $G \neq K_n$, $G \neq C_{2m+1}$

① $\Delta(G) = 0$: $\bullet \approx K_1 \Rightarrow$ nenosí žádoucí

② $\Delta(G) = 1$: $\bullet \bullet \approx K_2 \Rightarrow$ nenosí žádoucí

③ $\Delta(G) = 2$: $\bullet \bullet \bullet, \square \Rightarrow$ certa (degr. ≥ 3), (sudé) kruivice $\Rightarrow \chi=2$ ✓

④ $\Delta(G) \geq 3$ & $K_N =$ stupň vrcholné souvislosti = 1



Edyž by vše, že stejný argument ale slouží i k výhodě

Nechť $G - N$ má 2 komponenty jaro na obou stranách

\rightarrow vytvoříme G_1 a G_2 obsahující N

⊗ G_1, G_2 splňují předchozí lemma $\because N$ chybí hrana

\Rightarrow aplikujeme lemma a získáme

jinak přejmenujeme barvy

$$\left. \begin{array}{l} b_1 \dots \Delta\text{-obarení } G_1 \\ b_2 \dots \Delta\text{-obarení } G_2 \end{array} \right\} \text{bíme } b_1(N) = b_2(N) \Rightarrow \text{spojením nemáme } \Delta\text{-obarení } G$$

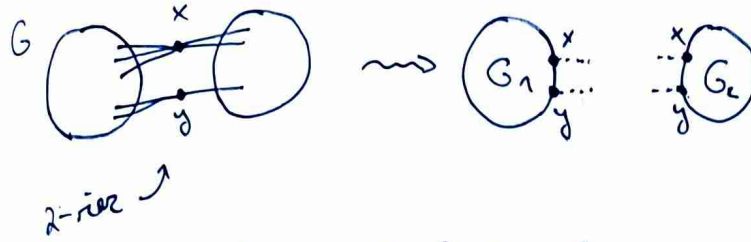
Kde jsme v ④ použili 3-souvislost?

\rightarrow Aby bylo možné N_1, N_2, \dots mohou udělat pro libovolný graf,

ale my potřebujeme aby x, y byly mimo, abychom je mohli dát na záčátek, tedy dostanou stejnou barvu a můžeme obarvit z

\rightarrow jinak $x, y \in N_1$ a vše by nemusely dostat stejnou barvu

⑤ $\Delta(G) \geq 3$ & $K_r(G) = 2$



→ podobně jako minule používali obarvení obarvou G_1 a G_2
⇒ jež slépit obarvení b_1 a b_2 ?

a) $b_{r_1}(x) = b_r(y)$ & $b_{r_2}(x) = b_r(y)$

\Rightarrow $b_{r_1}(x) = b_r(x)$ ✓

b) $b_{r_1}(x) \neq b_r(y)$ & $b_{r_2}(x) \neq b_r(y)$

\Rightarrow $b_{r_1}(x) = b_r(x)$ & $b_{r_2}(y) = b_r(y)$ ✓

c) $b_{r_1}(x) = b_r(y)$ & $b_{r_2}(x) \neq b_{r_2}(y)$

I) Pokud $\deg(x) \neq \deg(y)$ nebo $G_1 < \Delta(G)-1$,
potom přidám hraničky xy do G_1 a podle lemovního vztahu ⇒ obarvení bude $b_1(x) \neq b_1(y) \Rightarrow b_1$

II) x i y mají $\sim G_1$ $\deg = \Delta(G)-1$

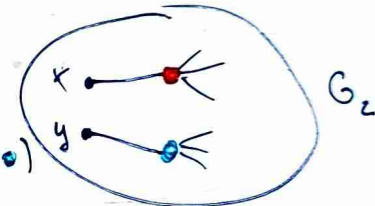
⇒ do G_2 může x i y pravidelně 1 hrana

→ když dva sousední jsou $\sim b_2$ nejde obarvit (\bullet, \circ)

Recall: $\Delta(G) \geq 3 \Rightarrow$ máme alespoň 1 barvy

→ $b_2(x) \neq b_2(y)$ minimální na nejdelší řetězí hraničky

⇒ sedly máme obarvit b_2' kde $b_2'(x) = b_2'(y) \Rightarrow a_1$



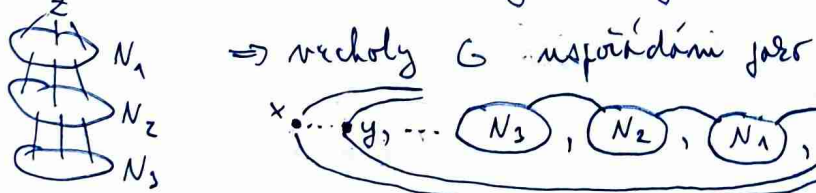
⑥ $\Delta(G) \geq 3$ & $K_r(G) \geq 3$... G je skoro $(\Delta-1)$ -degenerací

Lemma: G obsahuje obarvit $x \xrightarrow{z} y$ $\Delta(G) \geq 3 \Rightarrow$ alespoň 3 mohou

Dt: G souvislý ⇒ může všechny cesty délky 2 $\sim G$, alespoň 1 z nich musí mít nelzejší trojúhelník, jinak $G \approx K_m$

→ Ze 3-souvislosti G má $t \in V \setminus \{x, y, z\}$ cestu od z ke x a y ($G - \{x, y\}$ je souvislý)

⇒ pomocí BFS rozdělím vrcholy $G - \{x, y\}$ do hladin podle vzdálenosti od z



→ vrcholy G uspořádáme jistě
→ degenerované charakteristiky
→ obarvení hladce →

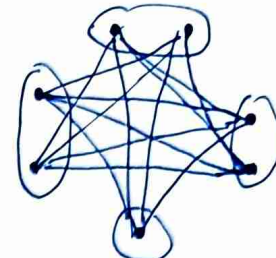
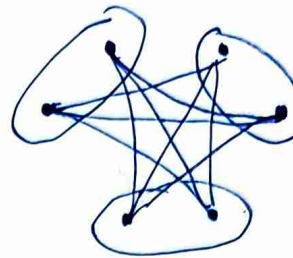
⊗ z je vrchol kromě z může alespoň 1 hrana doprava ⇒ max. $\Delta(G)-1$ sousedů vrcholu

→ Je obarvit z? z je srovnatelné s x i y, ale může x a y nemít hrana a jsou na rozdílu
→ x, y dosud nemají žádnou barvu ⇒ jednu barvu z může vlastnit - použijeme na z

Úlohy

① Barevnost anticyklu: kolik je $\chi(C'_m)$ kde C'_m je dohnek C_m ?

$$\text{Recall: } \chi \geq \frac{m}{2} = \frac{m}{2} \quad \left\{ \begin{array}{l} \chi = \lceil \frac{m}{2} \rceil \\ \circlearrowleft \chi \leq \lceil \frac{m}{2} \rceil \end{array} \right.$$

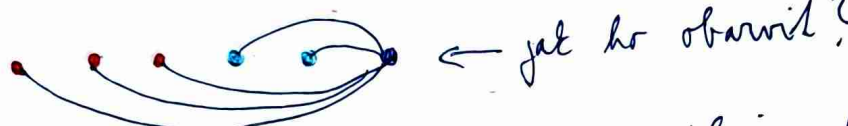


② Dokážte že graf G s m hranami obsahuje b.p. podgraf H s alespoň $m/2$ hranami.

a) obarvime vrcholy G fialovne

→ recall: G bipartitní $\Leftrightarrow G$ 2-obarvitelný

→ nejprve vrcholy libovolne usporiadame a potom deprava barvou

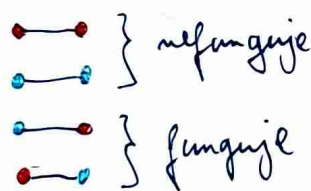


→ n $\nvdash H$ dokoncici vysledku nejprve folovim hranu z daneho vrcholu

⇒ obarvime ho modriem ∵ modrych sousedov je mene'

b) obarvime vrcholy G modrobiely

\nvdash herna \nvdash možna' obaren'



⇒ \nvdash herna funguje \Rightarrow fial. $\lceil \frac{m}{2} \rceil$, teda

$$\mathbb{E}[\# \text{fungujúcich hran}] = \frac{m}{2}$$

⇒ Sedz \exists obaren' kde funguje alespoň $\frac{m}{2}$ hran

Věta (Vizing): Pro \nvdash graf G platí $\Delta(G) \leq \chi'(G) \leq \Delta(G) + 1$.

$\chi'(G) = \Delta(G)$... grafy Vizingovy kolidy 1

$\chi'(G) = \Delta(G) + 1$... grafy Vizingovy kolidy 2

↗ ne pro grafy s $\Delta(G) = 3$

Fakt: Rozhodnuti Vizingova kolidu grafu je NP-siľny problem

Dilema: Zjistíme $\chi'(G) \geq \Delta(G)$, sedz dokazujeme $\nvdash G$: $\chi'(G) \leq \Delta(G) + 1$

→ Nechť $H \subseteq G$ je max. podgraf (co dle # hran) 1.ř. má hranami obaren' b pomocí $\Delta(G) + 1$ barev

→ potom $H = G$, máme vysledno

→ jinak presuplatelne je $\exists e \in E(G) \setminus E(H)$ a uvažme, že se b lze vybarvit obaren' b' grafu $H + e$ pomocí $\Delta(G) + 1$ barev.

Def: Barva β je volná ve vrcholu v vici obarvení $b \equiv$ barvy: 

$\nexists e \in E, v \in E$ s.t. $b(e) = \beta$

Množinu volných barev vrcholu v nazíváme $VB(v)$



\otimes Je-li $\chi'(G) \geq \Delta(G) + 1$, pak $\forall v: |VB(v)| \geq 1$ pro libovolné obarvení b

Záleží: Pokud je volná barva vrcholu dlekrádá, pak ho nazáležíme barvou

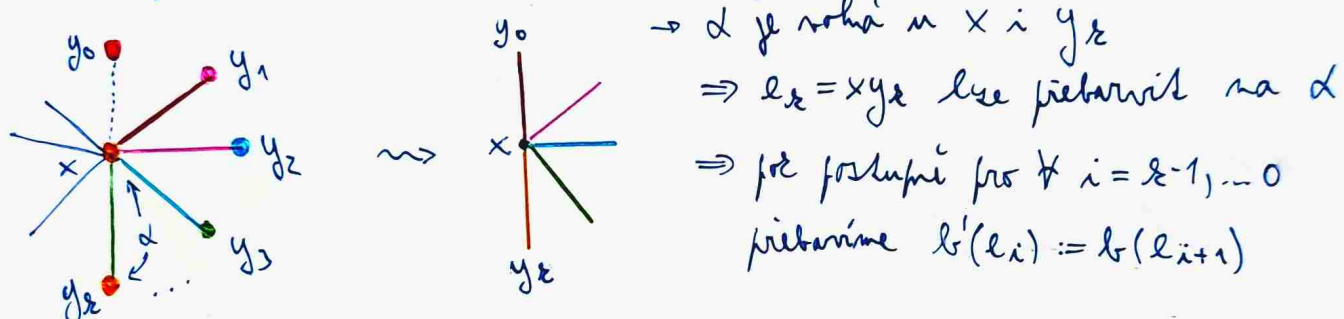
\Rightarrow Předpokládejme že $\exists e_0 = xy_0 \in E(G) \setminus E(H)$... 

\rightarrow zvýrazníme hrany incidentní s x a vybereme z nich nejdelsí možnou posloupnost

$e_1 = xy_1, e_2 = xy_2, e_3 = xy_3, \dots e_k = xy_k \subset \{e \in E(H) \mid x \in e\}$

a.z. $\forall i=1, \dots k$: barva $b(e_i)$ je volná v y_{i-1} a řádná hrana se neopakuje

① x a y_k mají společnou volnou barvu α



② $VB(x) \cap VB(y_k) = \emptyset, \alpha \in VB(y_k), \beta \in VB(x)$

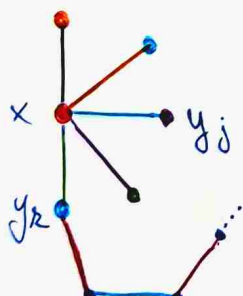
a) $\exists f \in E(H)$ incidentní s x , $b(f) = \alpha$, ale $f \notin \{e_1, \dots e_k\}$

\Rightarrow posloupnost lze prodloužit $\alpha \quad e_{k+1} = f$

b) $\exists j \in \{1, \dots k-1\}$ a.z. $b(e_j) = \alpha$

\rightarrow nechť H' je podgraf H hranami barev α a β

$\otimes H'$ chybáreny \Rightarrow komponenty H' jsou cesty a součásti hranice



- $\bullet = \beta$
- $\bullet = \alpha$
- $\bullet \beta$ není volná v $y_k \Rightarrow \exists$ červená hrana α v y_k
- $\bullet \alpha$ je volná v $y_k \Rightarrow \nexists$ modrá hrana α v y_k
- \Rightarrow komponenta H' obsahující y_k ji cesta se začíná v y_k
- \otimes pokud je poslední hrana $\textcolor{red}{c}/m$, ale je $m/\textcolor{red}{c}$ volná v koncovém vrcholu - jinak by cesta pokračovala

\Rightarrow cesta lze alternativně nazvat obarvení \rightarrow užitím to

I) cesta obsahuje y_j : poslední končí v x , jelikož je v něm červená volná

\rightarrow po alternaci je v x volná modrá & modrá volná v y_{j-1}

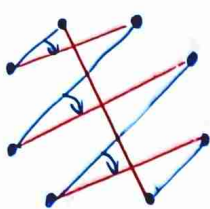
\rightarrow užitím to stejně přebavíme hrany počto v ①, ale rázem v e_{j-1} místo e_k

II) cesta neobsahuje y_j : po alternaci červená volná v $y_k \Rightarrow$ ①

Úloha: Kolik je $\chi'(K_m)$?

Recall: hranní obarvení \sim rozklad hrany na (jednorázová) fárování

a) m sudé



$$\circlearrowleft \chi'(K_m) \leq m-1$$

$$\circlearrowleft \chi'(K_m) \geq \Delta(K_m) = m-1$$

m sudé \Rightarrow Vizing 1

$$\chi'(K_{2k}) = \Delta(K_{2k})$$

b) m liché ... přidám vrchol nově ... n₀

\rightarrow do formy (mádře) obarvení se neobsahuje

\rightarrow alych se sjedou s kardinální řadou početem alespoň $m-1$ dalších fárování

$\Rightarrow \chi'(K_m) \geq m = \Delta(K_m) + 1$

Vizing: $\chi'(K_m) \leq \Delta(K_m) + 1$

m liché \Rightarrow Vizing 2

$$\chi'(K_{2k+1}) = \Delta(K_{2k+1}) + 1$$

PERFEKTNÍ GRAFY

Značení

- $\omega(G)$:= velikost největší monochromatické množiny v G
- $\chi(G)$:= relativnost = velikost největší klihy v G

\circlearrowleft Pro každý graf G platí že $\chi(G) \geq \omega(G)$

Def: Graf G je perfektní \equiv pro každý indukovaný podgraf H platí $\chi(H) = \omega(H)$

\circlearrowleft Množina perfektních grafů je uzavřená na indukované podgrafy

Příklady k.g.

\rightarrow úplné grafy $\otimes \dots \chi(H) = \omega(H) = |V(H)|$

\rightarrow bipartitní grafy $E(H) = \emptyset \Rightarrow \chi = \omega = 1$

$E(H) \neq \emptyset \Rightarrow \chi = \omega = 2$

\rightarrow stromy - prokazat jsou bipartitní

! delší než 5 ?

Příklady neperfektních grafů

\rightarrow liché cykly $\dots \chi = 3, \omega = 2$

\rightarrow liché anticykly \dots nejakej předešlé mnoze jeme nezápolí $\chi = \lceil \frac{m}{2} \rceil$ ale $\omega = \lfloor \frac{m}{2} \rfloor$

Silná věta o perfektních grafech

Květa: G je perfektní \Leftrightarrow neobsahuje žádoucí lichý cyclus ani lichý anticyclus o relativnosti ≥ 5 jehož indukovaný podgraf.

Anticyclus \equiv obrácený cyklus

divna antidiagona

Tvorem: Bipartitní grafy jsou Vizing 1 ... $\chi' = \Delta$.

Důkaz: Pokud je Δ -regulární, tedy faktu Hallovy věty
existuje perfektní párování

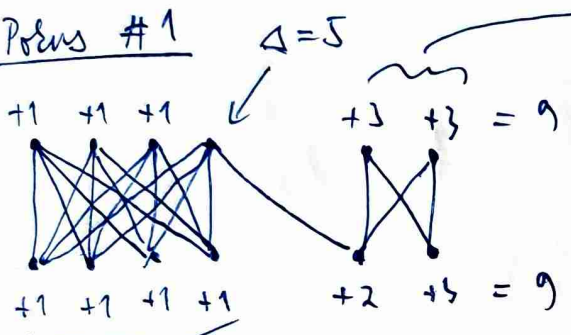
\Rightarrow odečtu by brany (obarvím až jinou barvu)

\Rightarrow sed mám $(\Delta-1)$ -reg. b.f. graf \Rightarrow indukci obarvím zbylé

Cíl ještě nemá Δ -regulární?

\rightarrow chciť tuhle nejake přidat někdy a brany aby byly Δ -reg
 \hookrightarrow pok obarvím a rase ji smazu

Pokus #1



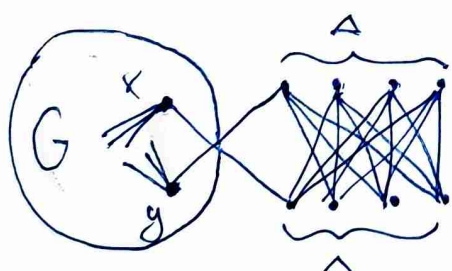
sta přidáníji' pídel 3 brany

at' se už mohu jít, nejdíve
mi ta vrchol s deg = 6 > Δ
 \Rightarrow bez přidávání' vrcholů to nejdíde

\Rightarrow chciť tuhle nejake' způsob, jde nejdřív když mohu zkusit a zkusit
a obousměrně vysoký deg = 1, i když mi jsou srovná brány

Pokus #2

\rightarrow nechť G má max deg $\Delta = 4$ a chci vysoký stupeň $x \Delta y = 1$



$\Delta(G') = \Delta(G)$, nejake' moje' někdy
mají deg = Δ a deg \times ay stupeň = 1

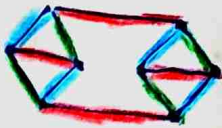
\Rightarrow postupně přidávám pravidelné až mám Δ -reg. G'

\rightarrow obarvím a smazu pravidelné



1) hranová barvost kubických grafů ... hrušky \equiv 5-regulární

⊗ Počet G hrušek má $X' = 3$, potom χ hran je PP (*)

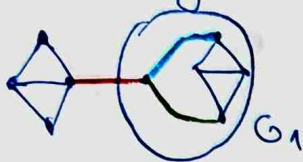


① G hrušky & má H. dvoumí \Rightarrow Vizing 1

\rightarrow množ na HC obarvením • a • ... ⊗ $|V(G)|$ je sudý

\rightarrow sen rby se obarvením fumou' • ... & Korchha rby se 1 hranou

② G hrušky & má most \Rightarrow Vizing 2



⊗ most dělí G na dve hřebené části

$$\sum_{v \in G_1} \deg(v) = 3 \cdot |V(G_1)| - 1 = \underbrace{2|E(G_1)|}_{\text{sudé}} \Rightarrow |V(G_1)| \text{ je liché}$$

\rightarrow když G byl Vizing 1 sot podle (*) χ hran určuje PP n G

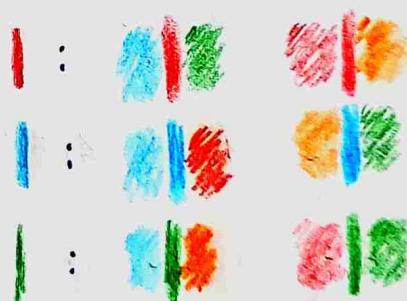
\rightarrow bývo most •, pro \bullet i \circ určuje PP n G1.

Věta (o 4 hranách): Pro χ roviný G platí $\chi(G) \leq 4$.

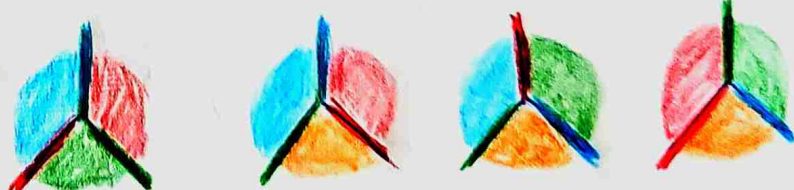
③ G hrušky & roviný \rightarrow Vizing 1

\rightarrow sliny G (všechny se mějou) obarvení podle věty o 4 hranách

\rightarrow hranové obarvení definují fakt



\rightarrow proč to funguje?



Fakt: Toto je fakt je ekvivalentní větě o 4 hranách.

Def: Rozsáhlá nezávislá množina (RNM) v grafu G je jde m.z.m. prisingající k sítce velikosti ω v G .

Lemma 1: G je perfektní \Leftrightarrow \forall indukovaný $H \subseteq G$ obsahuje RNM.

Důkaz: \Rightarrow : G perfektní $\Rightarrow G$ obsahuje RNM, z tisk "⇒" existuje určitý f.g. na induk. podgr.

$\rightarrow G$ perfektní $\Rightarrow \chi(G) = \omega(G)$ \Rightarrow \forall sítka velikosti ω používá řečený barvy

\Rightarrow pro \forall barvu je m.z.m. určena kontaktní barva RNM

\Leftarrow : Nechť $H \subseteq G$ je ind. podgraf, najdeme $\omega(H)$ -obarvení

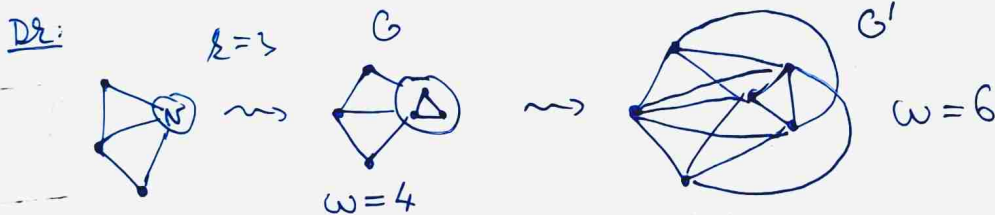
\rightarrow majdu RNM, všechny obarvené barvy 1 a směšně je

\rightarrow dostane menší ind. $H' \subseteq H \subseteq G$, který obarvení indukuje

\hookrightarrow opět majdu RNM, \square

Důsledek: Odebráním RNM z perf. grafu vznikne perfektní graf.

Lemma 2: Pro \forall perfektní graf G , vrchol $v \in V(G)$, $\ell \geq 2$ je graf vzniklý nařazením v do sítky K_ℓ také perfektní.



⊗ stačí dokázat pro $\ell=2$, větší sítky postupují nařazením

① nařazení vzniklého ω ... $\omega(G') = \omega(G) + 1$

\hookrightarrow prostě přidám pro ten nový vrchol novou barvu

② nařazení nového ω

\hookrightarrow nemohu přidat novou barvu, ani to během něčeho opravit

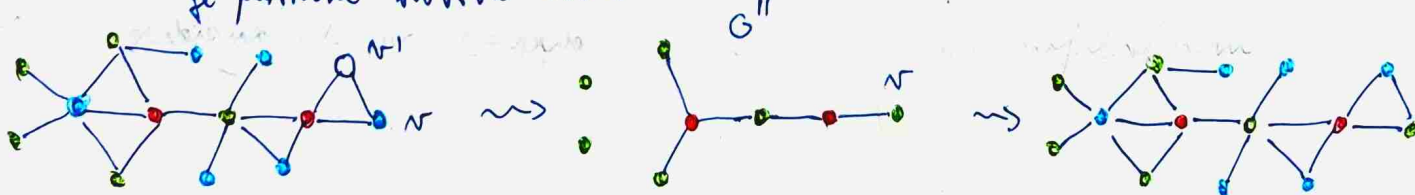
\Rightarrow z G vznikne graf G'' snažením všechny vrcholy s barvou $b(v)$ broumě v

\rightarrow pro lehčí důsledek předchozí lemma je G'' "také perfektní" - snažil jsem RNM

\hookrightarrow selhalo ind. $H \subseteq G''$ je také ind. $H \subseteq G \because G'' \subseteq G$ ind.

⊗ $\omega(G'') = \omega(G)-1 \Rightarrow$ najdeme $(\omega(G)-1)$ -obarvení G'' .

\rightarrow přidáme tam zpět ty odebrane vrcholy a v' (nový vrchol) a obarvime je původní barvou $b(v)$



Slabá věta o perfektních grafech (Lovász)

Věta: G je perfektní $\Leftrightarrow \bar{G}$ je perfektní. \leftarrow důkaz

Důkaz: Stačí " \Rightarrow " jelikož $\bar{\bar{G}} = G$

\rightarrow pro spor nechť G je nejménší (co do # vrcholů) perfektní t.j. \bar{G} není perfektní

\Rightarrow podle lemma 1 \exists ind. $H \subseteq \bar{G}$ t.j. nemá RNM

Z minimality G je $H = \bar{G}$... jinak \bar{H} je menší a nesplňuje větu \bar{G}

Klíčové použití: Nesavíšli jsou $G \sim \text{kliky } \bar{G}$ a možné

$\Rightarrow \bar{G}$ nemá RNM ... hardí NM neprojde nejdále max. klikou (velikost $\omega(\bar{G}) = \alpha(G)$)

\Rightarrow pro \forall kliku $Q \sim G \exists$ max. NM I_Q (velikost $\alpha(G)$) disjunktivní s Q (4)

Nechť Q_1, \dots, Q_ℓ je seznam všech klik $\sim G$ a I_1, \dots, I_ℓ jen odpovídající max. NM

\Rightarrow pro $v \in V(G)$ definujeme $f(v) := |\{i | v \in I_i\}|$

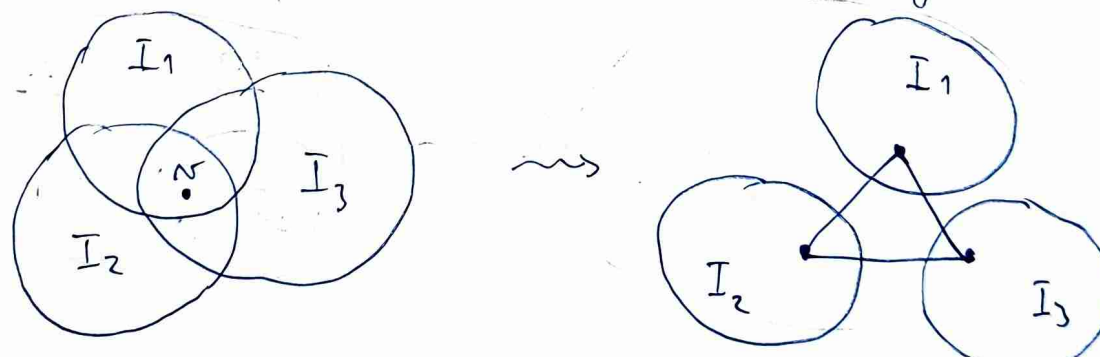
Nechť G^* je graf vzniklý z G nařazením $\forall v \in V(G)$ na kliku velikosti $f(v)$

a) $f(v) = 0 \Rightarrow$ vrchol jsme smarali \Rightarrow ind. podgraf \Rightarrow rachována perfektnost

b) $f(v) = 1 \Rightarrow$ nic se nezměnilo

c) $f(v) \geq 2 \Rightarrow$ podle lemma 2 rachována perfektnost

Tedy G^* je složitě perfektní a málo je "rozrostlý" kdy max. NM I_1, \dots, I_ℓ



Důkaz: G^* je právě disjunktivní sjednocením těch NM I_1, \dots, I_ℓ ,
jelikož pokud nejaky v nebyl v žádné z nich, tak $f(v)=0 \Rightarrow$ je smarany.

$|V(G^*)| = \ell \cdot \alpha(G)$, $\alpha(G^*) = \alpha(G) \dots$ rádny necessarily vrchol jenom nejvýše

Recall: $\forall G: \chi \cdot \alpha \geq n \Rightarrow \chi(G^*) \geq \frac{|V(G^*)|}{\alpha(G^*)} = \frac{\ell \cdot \alpha(G)}{\alpha(G)} = \ell$

Kolik je $\omega(G^*)$? \Rightarrow nechť max. klik $\sim G^*$ vznikla nařazením vrcholu kliky $Q_j \rightsquigarrow Q^*$

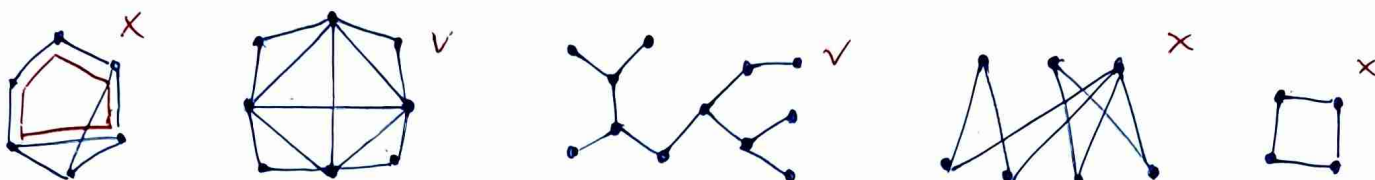
$\omega(G^*) = |Q^*| = \sum_{v \in Q^*} f(v) \leq \ell - 1 \rightarrow$ rádnon I_1, \dots, I_ℓ nezápristíkem dveří
marie I_j nezápristíkem vrábcem $\because I_j \cap Q^* = \emptyset$ (*)

Tedy $\chi(G^*) \geq \ell > \omega(G^*) \Rightarrow G^*$ není perfektní

CHORDÁLNÍ GRAFY

Def: Graf G je chordální \Leftrightarrow neobsahuje indukčný cyclus reliktu > 3
 $\Leftrightarrow \forall$ cyclus ≥ 4 má chordu

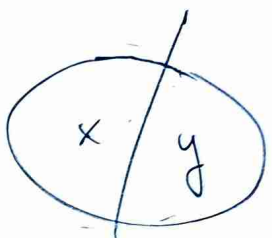
díra



Příklady

- náplňe grafy jsou chordální
- acyklické grafy jsou chordální ... nemají cykly \Rightarrow stromy, lesy
- bipartitní grafy jsou chordální \Leftrightarrow jsou acyklické
 \hookrightarrow když má b.p. graf cyclus, třebaže je sudý $\Rightarrow \geq 4$

nejmenší nechordální



Def: Pro dva nesousední vrcholy x, y v grafu G je $x-y$ řez

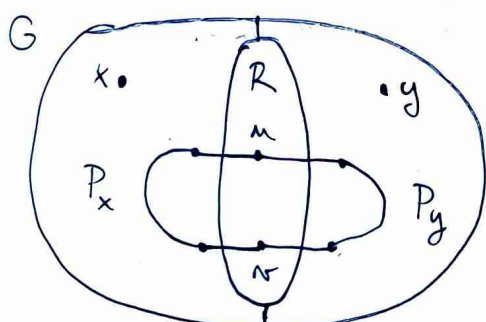
liborovný vrcholový řez, kde x a y připadnou do různých komponent po rozřízení

Uvádění: G je chordální \Leftrightarrow pro \forall dva nesousední $x, y \exists x-y$ řez, který je elika.

Dr: \Leftarrow : Pokud G není chordální, třebaže díru > 3 a nesousední vrcholy x, y si díry nejdou oddělit elikou - protože díra nemá chordu



\Rightarrow Nechť G je chordální a x, y nesousední



\rightarrow nechť R je nejmenší $x-y$ řez a pro spor všechno dejme, že není elika
 \rightarrow pokud $|R|=0$ mělo $|R|=1$, třebaže elika je \emptyset
 \Rightarrow nechť $|R| \geq 2$ a $m, n \in R$ nelze v řádu hrany

⊗ $\exists u \in R$ nede hrana do komponenty obsahující x

\rightarrow když by ne, třebaže vrchol nezájedněje s žádnou komunikací mezi komponentami $G-R$ a je v řádu sbytěný $\Rightarrow R$ není minimální \exists

⊗ koncové vrcholy těchto hraničních hraničních cest jsou v komponentě x spojené cestou
 \hookrightarrow protože je to komponenta, třebaže je souvislá

\Rightarrow nechť P_x je nejkratší $u-v$ cesta s vrcholy v řádu x komponenty x
 \Rightarrow obdobně myrobíme P_y

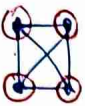
⊗ $P_x \cup P_y$ smí díru reliktu ≥ 4 v $G \Rightarrow G$ není chordální \exists

Def: Vrchol v grafu G je simplikem = jeho okolí $G[N(v)]$ je elka.



Věta: Kády chordální graf má simpliky vrchol.

Příklady:



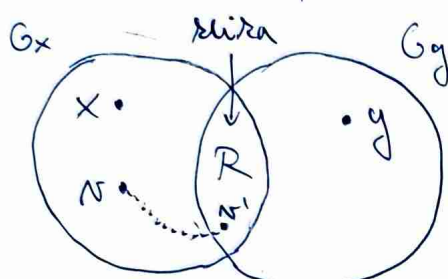
⊗ lisy jsou simpliky

Důkaz: Indukce podle # vrcholů

① Pokud je G řípký, pak je každý vrchol simplikem ✓

② Pokud G není řípký, tak najdeme dvojici 2 nesousedných simpl. vrcholy $(*)$

⇒ nechť G je chordální a obsahuje dva nesousední vrcholy x, y



→ podle předchozího tvrzení $\exists x-y$ říz R co je elka

→ graf rozšířeném podle R a vytvoříme grafy G_x a G_y

↳ $G_x = \text{podgraf } G \text{ indakující komponenta } x \text{ a } R$

a) G_x je elka, potom x je simplikem

b) G_x není elka, potom podle I.P. má G_x dva simpl. vrcholy N, N'

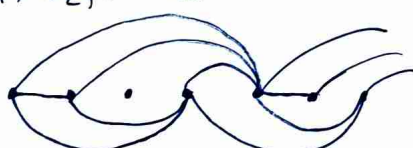
⊗ aspoň jeden z nich musí být v $G_x - R$ ∵ jsou nesousední & R je elka

↳ tento vrchol je simplikem i v G

Obdobně najdeme druhý (nesousední) simpl. vrchol pomocí G_y . ■

Def: Perfektní eliminací schéma (PES) grafu G je uspořádání vrcholů

v_1, v_2, \dots, v_m 1. z. levé obočí každého vrcholu má elku



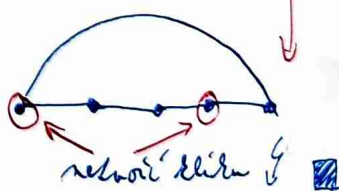
nejpravější vrchol
druhy

Věta: Graf je chordální \Leftrightarrow má PSA

Dk: \Rightarrow : stavime sprava doleva řádkuim simplicku vrcholu.

⊗ chordální grafy jsou uvedené na indukované podgrafy

\Leftarrow : pokud G obsahuje člun ≥ 3 , tak není PES



Diskedly:

→ dvojice \exists lineární alg.

① Chordální grafy lze počítat v polynomialem čase řádkuim simpl. vrcholu

② Chordální grafy jsou perfektní

↳ triviální alg. je $O(n^4)$

↳ bludové obarvení → podle PSA má vlastnost $X \leq \omega$, tedy $X = \omega$

↳ navíc ind. $H \subseteq G$ chordální G je chordální, tedy H má PSA a opět $X = \omega$

Úlohy:

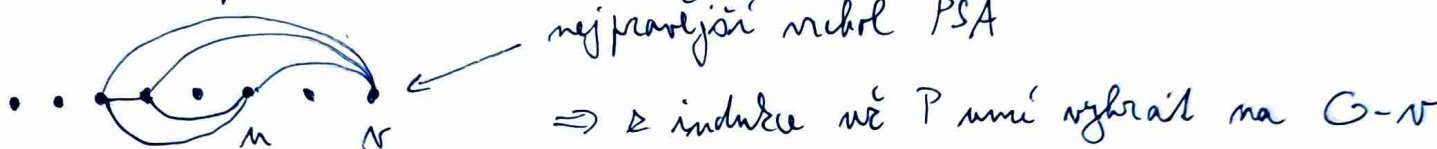
① vzdálu sečítku níkol 10 o křížích max. vzhledem k indukci

↳ řešení: často se hodí dívat se na nejpravější vrchol podle PSA

② Policie a Zbrojní hraji hru na souvisleim grafu G. Nejdříve P vybere počátečním vrchol, poté z a poté P racina. Tah = posunuti se hranou / ruštane stál. P vyhrají, pokud chybí z = je ne aktuálním vrcholem.

Dostaví, že pokud je G chordální, tak P má v této hře strategii.

→ indukce podle # vrcholů



Pokud z nerovnou mítce drží n, P vyhrají ↑

Co když z mítce do n?

⇒ P předstihne, že z je n a u = nejpravější soused n

→ když si P myslí že chybí z

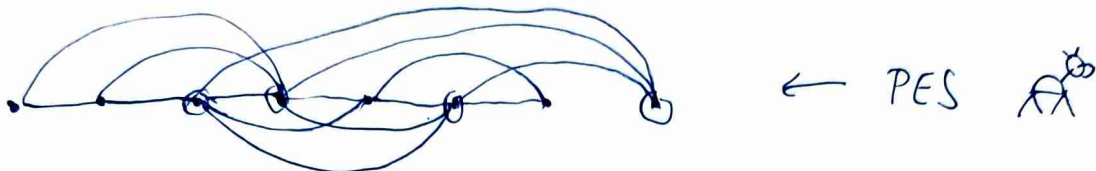
1) z nemí ve N ... opravdu ho chybí

2) z je ve N ... P je n u

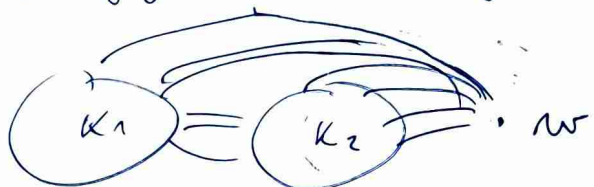
⇒ ak z půjde k n kamkoliv, tak ho P přistě chybí, protože sousedi n mohou být

Výběr 10

Úloha 1: Def: Klika v grafu G je mal. vzhledem k inkluzi =
 do mě někde přichází rádý vrah, aby zkusala elici
Trećení: chodník G má n vřezech může mít nejvýš n mal. elic.



→ rádý vrah může být nejpravější v nejvíce plné elici
 → rádý byly 2 ruce elicy, kde může být nejpravější:



PES \Rightarrow leví sousedé w
 střední elici
 \Rightarrow je třetí celé jedna voda voda elici

Najděte všechny grafy G má n vřezech a má n mal. elic.

Trećení: Šedý solový G je paseta na n vřezech ... $E = \emptyset$

Def: Potřebujeme aby t vrah byl nejpravější v nejdelší elici

\hookrightarrow rádene zleva podle PSA

\hookrightarrow nejdřív vrah musí být nejpravější v rádě mal. elice

\Rightarrow elice reliabilita 1

\Rightarrow ten vrah nemůže mít rádovou brannou obranu, jinak by to šlo ročník na elici reliabilita 2

\rightarrow stejným argumentem druhý vrah bude mít stupen 0

\hookrightarrow má být nejpravější v rádě mal. elice, ale všechny vrahové malovou mají stupen 0

\rightarrow indikácií má rádý vrah stupen 0 $\Rightarrow G$ je paseta
 (les bez stromů)



HAMILTONOVSKÉ GRAFY

Def: G je hamiltonovský $\Leftrightarrow C_H \subseteq G$... obsahuje $H.$ kružnici jeho podgraf.

Věta (Bondy-Chvátal): Nechť x, y jsou nesousední v $G = (V, E)$ a $G^+ = G + xy$.

Pokud $\deg(x) + \deg(y) \geq n$, potom G je hamilton $\Leftrightarrow G^+$ je hamilton

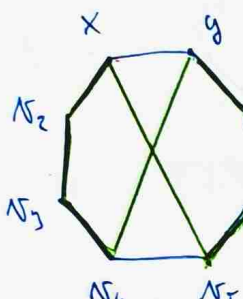
Důkaz: \Rightarrow trivialné

\Leftarrow : Nechť C je $H.$ kružnice grafu G^+ :

1) Pokud $xy \notin C \Rightarrow C$ je $H.$ i v G ... hledáme

2) Pokud $xy \in C$, tøe očištjeme vrcholy C jeho $x = v_1, v_2, \dots, v_m = y$

\rightarrow chceme vyrobit $H.$ k. co reprezentuje xy


 \rightarrow majdeme najepon všechnu branci $v_j v_{j+1}$ a odèláme snyženku

$$C' = C - xy - v_j v_{j+1} + xv_{j+1} + yv_j \quad (*)$$

\rightarrow dle jehož všechných vrcholù C (a tedy G) neobsahuje x, y branci?

$$E_x := \{v_i \mid v_i \neq y, v_2 \quad \& \quad xv_i \in E(G)\}, \dots \text{dam mìrnù vùst branci } x$$

$$E_y := \{v_i \mid v_i \neq x, v_{m-1} \quad \& \quad yv_i \in E(G)\} \dots \text{dam mìrnù vùst branci } y$$

Nyní se prosímajte majit vrchol v_j který mìříme pouze na (*)

$$D_x := \{v_{i-1} \mid v_i \in E_x\} \dots \text{vrcholy druhé z pohledu } x$$

$$D_y := \{v_i \mid v_i \in E_y\} \dots \text{vrcholy druhé z pohledu } y$$

$$\text{⊗ } |D_x| = |E_x| = \deg_G(x) - 1 \dots \text{vrchol } v_2 \text{ má } n_2$$

$$|D_y| = |E_y| = \deg_G(y) - 1 \dots \text{vrchol } v_{m-1} \text{ má } n_{m-1}$$

$$\text{⊗ } |D_x| + |D_y| \geq n - 2 \dots \text{pouze jenom jednoduš}$$

$$\text{⊗ } |D_x \cup D_y| \leq n - 3 \dots \text{chybí vrchol } x, y, v_{m-1}$$

$$\text{Tedy } |D_x| + |D_y| > |D_x \cup D_y| \Rightarrow \exists v_j \in D_x \cap D_y$$



Věta (Dirac): Pokud $\delta(G) \geq \frac{n}{2}$, potom je G hamiltonovský.

Def: Ke mnì si užijí graf K_n a majdu triviální $H.$ kružnici.

Pak postupnì odstraním brany atycky vyholil G a podle B-CH má $H.$ k. zachován

\hookrightarrow Abylo dárá polynomiální alg. jde mì $H.$ kružnici majit

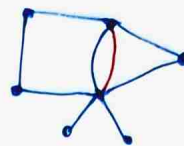
TUTTEOV POLYNOM

Def: Multigraf je dvojice $G = (V, E)$, kde $E \subseteq V \cup (\overset{v}{\mathbb{Z}})$ je multimnožina.

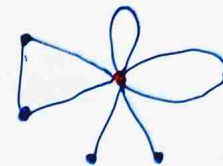
- dovolujeme smyčky a hrany se mohou opakovat
- maximální hrana / vrchol funguje intuitivně
- konstrukce hrany nezahrnuje žádné hrany?



$G.e$



$G.e$



Def: $\delta(G) = \delta(V, E)$ ruční # komponent

Def: Hrana $e \in E$ je most $\equiv \delta(G-e) < \delta(G)$

Def: Hodnota (rank) multigrafu G je $r(G) := |V| - \delta(G)$



⊗ $r(G) = \text{redukt} (\text{lesov})$ kostry G



⊗ přidávání izolovaných vrcholků rank nemění

Def: Pro $F \subseteq E(G)$ definujeme \hookrightarrow tedy $r(F) = r(E)$

rank • $r(F) := r(G[F])$, kde $G[F]$ je graf tvorěný jen vrcholy F

máloha • $m(F) := |F| - r(F) = \# \text{hran mezi } F - \text{nepravidelné jsou v } F$

Note: Toto je prostě selský rank matroidů

$\rightarrow M_G = \text{Cycle Matroid}(G)$, $M_F = \text{Cycle Matroid}(G[F])$

dualní matroid
↓

$\Rightarrow r(G) = \text{rank}(M_G)$, $r(F) = \text{rank}_{M_G}(F) = \text{rank}(M_F)$, $m(F) = \text{rank}(M_F^*)$

Def: Tutteov polynom grafu $G = (V, E)$ je $T_G(x, y) := \sum_{F \subseteq E} (x-1)^{r(E)-r(F)} \cdot (y-1)^{m(F)}$

Bríkld: $G = \Delta$

F	rank	máloha
\emptyset	0	0
$\{\}$	1	0
Δ	2	0
Δ	2	1

$$T_\Delta(x, y) = T(\emptyset) + 3 \cdot T(\{\}) + 3 \cdot T(\Delta) + T(\Delta) \quad ; \quad \pi(E) = 2$$

$$= (x-1)^{2-0} \cdot (y-1)^0 + 3 \cdot (x-1)^{2-1} \cdot (y-1)^0 + 3 \cdot (x-1)^{2-2} \cdot (y-1)^0 + (x-1)^{2-2} \cdot (y-1)^1$$

$$= (x-1)^2 + 3(x-1) + 3 + (y-1) =$$

$$= (x-1)^2 + 3x + y - 1 = \underline{\underline{x^2 + x + y}}$$

Intuice: Tutteov polynom je v podstatě OGF weighted combinatorické struktury definované na G
 \rightarrow struktura $\mathcal{G} := \{F \subseteq E\}$, size funkce $|F| := r(E) - r(F)$, váha $w(F) := y^{m(F)}$

$$\text{OGF}(\mathcal{G}) = \sum_{\alpha \in \mathcal{G}} x^{|\alpha|} \cdot w(\alpha) = \sum_{F \subseteq E} x^{r(E)-r(F)} \cdot y^{m(F)} = T_G(x+1, y+1) \quad ; \quad \text{tag variable}$$

Tvrzení: Nechť $G_1 = (V_1, E_1)$, $G_2 = (V_2, E_2)$ a $G = (V_1 \cup V_2, E_1 \cup E_2)$ jsou multigrafy.

Pokud $E_1 \cap E_2 = \emptyset$, potom $T_G(x, y) = T_{G_1}(x, y) \cdot T_{G_2}(x, y)$.

Intuice: G_1 a G_2 jsou disj. komb. struktury $\Rightarrow \text{OGF}(G_1 \times G_2) = \text{OGF}(G_1) \cdot \text{OGF}(G_2)$

Důkaz: ~~$E = E_1 \cup E_2$~~ \Rightarrow pokud $F \subseteq E$, tak $F = F_1 \cup F_2$, kde $F_1 \subseteq E_1$ a $F_2 \subseteq E_2$

~~$\otimes r(F) = r(F_1) + r(F_2)$~~ , $m(F) = m(F_1) + m(F_2)$

\rightarrow toto by sedělo vzhledem k definici, ale to je všechno

Def: Pro dve weighted comb. structures G_1, G_2 s váženími w_1, w_2 definujeme

$$\text{struktura } G = G_1 \times G_2 = \{(a, b) \mid a \in G_1, b \in G_2\}, \quad |(a, b)| = |a| + |b|$$

$$\text{a rámcou } w(g) := w_1(g) \cdot w_2(g)$$

~~$\otimes \text{OGF}(G) = \text{OGF}(G_1) \cdot \text{OGF}(G_2)$~~

$$\hookrightarrow \sum_{g \in G} x^{|g|} w(g) = \sum_{(a, b)} \sum_{a \in G_1, b \in G_2} x^{|a|+|b|} w_1(a) w_2(b) = \underbrace{\sum_a x^{|a|} w_1(a)}_{\text{OGF}(G_1)} \underbrace{\sum_b x^{|b|} w_2(b)}_{\text{OGF}(G_2)}$$

~~\otimes~~ Pokud $G_1 \cap G_2 = \emptyset$, pak máme v definici $G_1 \times G_2$ místě (a, b) pouze $a \cup b$

Recall: $\text{OGF}(G) = T_G(x+1, y+1)$

Tedy $\text{OGF}(G) = \text{OGF}(G_1) \cdot \text{OGF}(G_2) \Rightarrow T_G(x+1, y+1) = T_{G_1}(x+1, y+1) \cdot T_{G_2}(x+1, y+1)$ \blacksquare

Věta: Tiskové polynom $T_G(x, y)$ multigrafu $G = (V, E)$ lze určit rekurzí

① $E = \emptyset \Rightarrow T_G(x, y) = 1$

② $e \in E$ je most $\Rightarrow T_G = x \cdot T_{G-e} = x \cdot T_{G,e} \dots (+)$

③ $e \in E$ je smyčka $\Rightarrow T_G = y \cdot T_{G-e} = y \cdot T_{G,e} \dots$ súmáni a kombraje smyčky
jsou identické operace

④ $e \in E$ final $\Rightarrow T_G = T_{G-e} + T_{G,e}$

Důkaz

\rightarrow klikací program: Tiskové polynomy říkají jenom na branách

- přidávání izolovaných vrcholů nic nemění & $T_\emptyset(x, y) = 1 \Rightarrow ①$

• T pro $G_1 \quad G_2 = T$ pro $G_1 \times G_2 \quad (+)$ \hookrightarrow přirodní suma

$\hookrightarrow G_1$ a G_2 jsou v obou případech braně disjunktivní \Rightarrow platí minálí

~~\otimes~~ $\bigcirc \bigcirc$ a $\bigcirc \bigcirc$ se chraňí identickými ranky

Dílčí řízky: nechť $e \in E$

$$T_G(x,y) = \sum_{\substack{F \subseteq E \\ e \notin F}} (x-1)^{r(E)-r(F)} (y-1)^{m(F)} + \sum_{\substack{F \subseteq E \\ e \in F}} (x-1)^{r(E)-r(F)} (y-1)^{m(F)}$$

S_1 S_2

Pozorování:

→ co se stane když e smažeme / srovnáváme? Jak se změní rank a multita?

A) e je smyjka

→ kontrahace a smazání smyjky jsou identické - smažeme ji

- počet ani velikost komponent se nemění \Rightarrow rank se nemění
- pokud $e \in F$, pak $m(F-e) = m(F) - 1$ \because smyjky v kostce nejsou

$$\Rightarrow S_2 = (y-1) \cdot T_{G-e} = (y-1) \cdot T_{G,e}$$

B) e je most

→ v hledisku ranku je smazání a kontrahace mostu identicky operace - smažeme (+)

- počet komponent zůstane o 1 \Rightarrow rank (velikost kostky) klese : $r(E-e) = r(E)-1$
- pokud $e \notin F$, pak se multita nemění

$$\Rightarrow S_1 = (x-1) \cdot T_{G-e} = (x-1) \cdot T_{G,e}$$

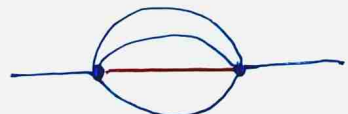
C) e není smyjka - hrana srovnáváme

- velikost komponenty klese o 1 \Rightarrow rank klese : $r(E-e) = r(E)-1$

↳ pokud $e \in F$, pak také $r(F-e) = r(F)-1$

\Rightarrow tyto jednotky se o mocnině $(x-1)$ v S_2 vymírají \Rightarrow rádha změna

- co se stane s multitou když $e \in F$?



3 hrany novic



3 (srovnávání) smyjky

\Rightarrow multita F se nemění

$$\Rightarrow \sim S_2 \text{ rádha změna} \Rightarrow S_2 = T_{G,e}$$

D) e není most - hrana smazeme

- velikost/počet komponent se nemění \Rightarrow rank stejný } $S_1 = T_{G-e}$
- pokud $e \notin F$, pak se multita nemění

Celkem: B & C \Rightarrow ② , A & D \Rightarrow ③ , C & D \Rightarrow ④



Vlastnosti Tutteova polynomu

① $T_G(1,1) = \# \text{ krošov grafu } G$

$$T_G(1,1) = \sum_{F \subseteq E} O^{r(E)-r(F)} \cdot O^{m(F)} = |\{F \subseteq E \mid r(E)=r(F) \text{ a } m(F)=0\}|$$

$r(E)=r(F) \Leftrightarrow F \text{ je spanning edge set}$ } $F \text{ je spanning forest}$
 $m(F)=0 \Leftrightarrow F \text{ je forest}$

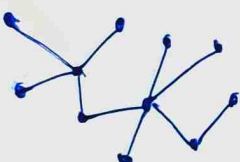
② $T_G(1,2) = \# \text{ spanning podgrafů} \rightarrow \text{také } r(E)=r(F)$

③ $T_G(2,1) = \# \text{ acyklických podgrafů}$

④ $T_G(2,2) = 2^{|E(G)|} \rightarrow \sum_{F \subseteq E} 1 \cdot 1 = \# F \subseteq E = |2^E| = 2^{|E|}$

Úlohy

① Tutteov polynom stromu na n vrcholech - T_n



→ main listné hrany - všechny jsou mosty

$$T_{T_m} = x T_{T_{m-1}} = \dots = x^{|E|} = \underline{\underline{x^{m-1}}}$$

② Tutteov polynom kružnice - C_n , $n \geq 3$



→ e není ani most ani smyčka

$$T_{C_m} = T_{C_{m-e}} + T_{C_{m,e}} = T_{P_m} + T_{C_{m-1}} = x^{m-1} + T_{C_{m-1}}$$



ustá na n vrcholech = strom

Base case: $T_V = T_V + T_0 = x^2 + T_1 + T_0 = x^2 + x + y$

$$\Rightarrow \text{celkově } T_{C_m} = x^{m-1} + x^{m-2} + \dots + x^2 + x + y$$

$$= x(1+x+\dots+x^{m-2}) + y$$

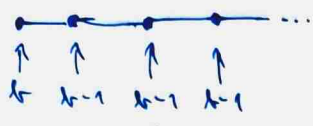
$$= \frac{x^{m-1}-1}{x-1} \cdot x + y = \underline{\underline{y + \frac{x^m-x}{x-1}}}$$

CHROMATICKÝ POLYNOM

Def: Pro multigraf G definujme fci $X_G(b) := \# \text{viholajich barvení formací barev } \{1, \dots, b\}$

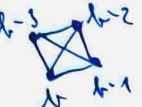
Příklady

• Cesta P_m



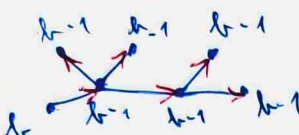
$$X_{P_m}(b) = b(b-1)^{m-1}$$

• úplný graf K_m



$$X_{K_m}(b) = b^m$$

• strom T_m



$$X_{T_m}(b) = b(b-1)^{m-1}$$

Tworem: Funkce X_G splňuje rekurenci

$$\textcircled{1} \quad E(G) = \emptyset \Rightarrow X_G(b) = b^{|V(G)|}$$

$$\textcircled{2} \quad e \in E \text{ je most} \Rightarrow X_G(b) = (b-1) X_{G-e}(b)$$

$$\textcircled{3} \quad e \in E \text{ je smyčka} \Rightarrow X_G(b) = 0$$

$$\textcircled{4} \quad e \in E \text{ final} \Rightarrow X_G(b) = X_{G-e}(b) - X_{G,e}(b)$$

Důkaz:

$$\textcircled{1} \quad E = \emptyset : \therefore X_G(b) = b^m \quad \checkmark$$

$$\textcircled{2} \quad e \text{ je most} \quad \text{Diagram showing a path with a single edge removed, leading to two separate components. Arrows indicate color transitions from the original edge to the new edges in the components. This is followed by a sequence of diagrams showing the addition of edges back to the original graph. A blue double-headed arrow symbol is shown at the top right.}$$

↳ obarvin $G-e$ formací barev $\{1, \dots, b\}$ a hledaného barvení G

→ po rozdělení v. e. zpět na e máme si přebrat jeden z nich vzhledem k množině nechávaných a mimo rámec s nějakou jinou barvou → b-1 možností

$$\textcircled{3} \quad e \text{ je smyčka} \rightarrow \Rightarrow X_G(b) = 0 \quad \dots \text{ nelze obarvit}$$

$$\textcircled{4} \quad e \text{ není ani jednoznačné} \quad \text{Diagram showing a loop with two vertices x and y. An arrow labeled G-e points to a diagram where the loop is removed, leaving two separate vertices. Two arrows point from these vertices to two separate components: one labeled ~ G-e and another labeled ~ G. Below, a bracketed pair of equations shows: } \begin{cases} b(x) = b(y) \Rightarrow množiny lze sjednotit \sim G-e \\ b(x) + b(y) \Rightarrow lze san přidat e \sim G \end{cases} \quad X_{G-e} = X_G + X_{G,e} \quad \blacksquare$$

Věta: Pro k graf G velikosti n je $X_G(b)$ polynom stupně nejvíce n s celočísl. koef.

Def: Pokud $e \in G$ je smyčka $\Rightarrow X_G(b) = 0$

tímže množina barev a množina množin výbarvení stran rozdílna, kde lze zjistit pro formu

$$\text{a)} \quad b^n \dots \text{ zníli } \textcircled{1} \quad b, 0 \dots \text{ zníli } \textcircled{3}$$

a množinu množin obsahujících pravidla $\textcircled{2}$ a $\textcircled{4}$



Věta: Chromatický polynom lze vyjádřit pomocí Tutteova polynomu jeho

$$\underline{X_G(b) = (-1)^{r(G)} \cdot b^{e(G)} \cdot T_G(1-b, 0)} =: \overline{T}_G(b)$$

Dle: Indukce podle # hran

$$\rightarrow \underline{\text{base case}}: E(G) = \emptyset : X_G(x) = b^{|V(G)|} = b^{e(G)}$$

$$\overline{T}_G(b) = (-1)^0 \cdot b^{e(G)} \cdot 1 = b^{e(G)} \quad \checkmark$$

\rightarrow nechť $e \in E$, můžeme jedna re. situaci d. mož.: pro G.e, G-e platí I.P.

$$\textcircled{i} \quad \underline{e \text{ je most}}: X_G(b) = (b-1) X_{G-e}(b) = (b-1) \cdot (-1)^{r(G-e)} \cdot b^{e(G-e)} \cdot \overline{T}_{G-e}(1-b, 0)$$

$$= (b-1) \cdot (-1)^{r(G)-1} \cdot b^{e(G)} \cdot \underline{\overline{T}_{G-e}(1-b, 0)} = (-1)^{r(G)} \cdot b^{e(G)} \cdot \overline{T}_G(x, y) \quad \checkmark$$

$$e \text{ most} \Rightarrow \underline{\overline{T}_G(x, y) = x \cdot \overline{T}_{G-e}(x, y)}$$

$$\textcircled{ii} \quad \underline{e \text{ je smyčka}}: X_G(b) = 0, \quad \overline{T}_G(1-b, 0) = y \cdot \underline{\overline{T}_{G-e}(1-b, 0)} = 0 \quad \checkmark$$

$$\textcircled{j} \quad \underline{e \text{ není ani jedna}}: \overline{T}_G(x, y) = \overline{T}_{G-e}(x, y) + \overline{T}_{G.e}(x, y)$$

$$X_G(b) = X_{G-e}(b) - X_{G.e}(b) = \overline{T}_{G-e}(b) - \overline{T}_{G.e}(b) = (-1)^{r(G)} \cdot b^{e(G)} \cdot \overline{T}_G(1-b, 0)$$

$$\overline{T}_{G-e}(b) = (-1)^{r(G-e)} b^{e(G-e)} \cdot \overline{T}_{G-e}(1-b, 0) = (-1)^{r(G)} b^{e(G)} \cdot (\overline{T}_G(1-b, 0) - \overline{T}_{G.e}(1-b, 0))$$

$$\overline{T}_{G.e}(b) = (-1)^{r(G)-1} b^{e(G)} \cdot \overline{T}_{G.e}(1-b, 0) = -(-1)^{r(G)} b^{e(G)} \cdot \overline{T}_{G.e}(1-b, 0) \quad \blacksquare$$

Formální mocninné řady

Def: Pro posloupnost čísel $a_0, a_1, \dots \in \mathbb{R}$ definujeme formální mocninnou řadu FMR

$$\text{jako zápis } A(x) := \sum_{i=0}^{\infty} a_i x^i = a_0 + a_1 x + a_2 x^2 + \dots$$

Fak: Množina všech reálných FMR označená $\mathbb{R}[[x]]$ tvoří dimenzionální řád

\rightarrow neutrální bod pro $+$: $0 + 0x + 0x^2 + \dots$

\rightarrow neutrální bod pro \cdot : $1 + 0x + 0x^2 + \dots$

\rightarrow opačná hodnota pro $+$: $B(x) = \sum_{i=0}^{\infty} -a_i x^i$

Inverz: Multiplikativní inverz $B(x) = 1/A(x)$ existuje $\Leftrightarrow a_0 \neq 0$, a pokud je jednonedivizní.

Dle: řešíme rovnici $A(x) \cdot B(x) = 1 \Rightarrow a_0 b_0 = 1 \Rightarrow b_0 = 1/a_0$.

$$\forall n \geq 1: [x^n] A(x) B(x) = \sum_{k=0}^m a_k b_{m-k} = 0 \Rightarrow b_m = -\frac{1}{a_0} \cdot \sum_{k=1}^m a_k b_{m-k} \quad \blacksquare$$

Věda Sestránkou FMR $A(B(x))$ je definována indukčně a je rovnoucí \Leftrightarrow

① pokud je A polynom ... $(\exists m_0)(\forall n \geq m_0) : a_n = 0$

$$A(B(x)) = a_0 B(x)^0 + a_1 B(x)^1 + \dots + a_{m_0-1} B(x)^{m_0-1}$$

② pokud je $b_0 = 0$

→ sice nemusí mít mnoho řešení, ale $[x^k] A(B(x))$ je pro $k \geq 1$ konstanta

$$\textcircled{*} \text{ pro } \forall m > k \text{ je } [x^k] B(x)^m = 0$$

Obyčejná generující funkce

ground set

size function

Def: Kombinatorická struktura je obojice $(G, 1 \cdot 1)$, kde G je množina a $1 \cdot 1 : G \rightarrow \mathbb{N}_0$ je funkce 1.ř. t_m je jen konečná mnoho prvků velikosti m .

Značení: $G_m := \{\alpha \in G \mid |\alpha| = m\}$, $a_n := |G_m| \quad \hookrightarrow G_m \text{ je konečná}$

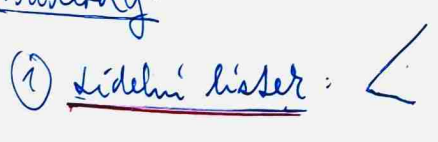
Def: Obyčejná generující funkce (OGF) struktury G je

$$\text{OGF}(G) := \sum_{\alpha \in G} x^{|\alpha|} = \sum_{i=0}^{\infty} a_i x^i$$

$$\textcircled{*} \quad A \cap B = \emptyset \Rightarrow \text{OGF}(A \cup B) = \text{OGF}(A) + \text{OGF}(B)$$

$$\textcircled{*} \quad \text{OGF}(A \times B) = \text{OGF}(A) \cdot \text{OGF}(B), \quad |(\alpha, \beta)| = |\alpha| + |\beta| \quad \dots \text{skalární součin}$$

Příklady:

① Lidem líšit:  lidové jídlo $H = \{\text{Guleš: 300, Rizet: 400, Rizot: 600}\}$
P = $\{\text{Vývar: 100, Kukyda: 150}\}$

$$\left. \begin{array}{l} \text{OGF}(H) = x^{300} + x^{400} + x^{600} \\ \text{OGF}(P) = x^{100} + x^{150} \end{array} \right\} \quad \text{OGF}(J) = \text{OGF}(H) + \text{OGF}(P)$$

→ ceny jednoho nebo obou: $\text{OGF}(H) \cdot \text{OGF}(P)$

→ ceny různých druhů jídla: $\text{OGF}(J)^k$

→ ceny všech možných mísání - mnoho řešení pokud každá jídla mají různou hodnotu

$$\text{OGF}(\text{Seq}(J)) = 1 + \text{OGF}(J) + \text{OGF}(J)^2 + \dots = \frac{1}{1 - \text{OGF}(J)}$$

\hookrightarrow člen součtu $15 \cdot x^{1050} \dots$ existuje 15 různých jídel místních 1050 Kč.

② Přirozené čísla m je ne krom $m = p^2 \cdot q^3$, kde p, q jsou prvočísla

a) kolik dělitelů má m? $1, p, p^2, 1, q, q^2, q^3 \rightarrow 3 \cdot 4 = 12$

b) kolik je součet dělitelů? $(1+p+p^2)(1+q+q^2+q^3)$

c) $T(d) := \# \text{dělitelů čísla } d$... $T(6) = 4 \Rightarrow \sum_{d|m} T(d) = ?$

$$\sum_{d|m} T(d) = (1+2+3)(1+2+3+4) = 6 \cdot 10 = 60$$

③ Generování ře. stringů písmen

$$\text{MATH} \rightarrow \underset{m}{(1+x)} \underset{4}{(1+x)} \underset{T}{(1+x)} \underset{H}{(1+x)} = (1+x)^4$$

$$\text{SEQUENCES} \rightarrow \underset{S}{(1+x+x^2)} \underset{E}{(1+x+x^2+x^3)} \underset{Q,U,N,C}{(1+x)^4}$$

⊗ $\{x^n\}_n = \# \text{spisovatelných řetězů výběr m-nic písmen, nezáleží na pořadí}$
 $ABDA \xrightarrow{n=3} ABB, AAD$

Exponenciální generování ře.

Def: Labeled komb. struktura je možna \mathcal{G} t.j. $\forall \alpha \in \mathcal{G}$ má konečný vertex set $V(\alpha) \subseteq \mathbb{N}_0$ a

① pro každého $V \subseteq \mathbb{N}_0$ \exists žádoucího $\alpha \in \mathcal{G}$ t.j. $V(\alpha) = V$

② pro každé $V, W \subseteq \mathbb{N}_0$, $|V| = |W|$ platí: $|\{\alpha \in \mathcal{G} \mid V(\alpha) = V\}| = |\{\alpha \in \mathcal{G} \mid V(\alpha) = W\}|$
 ↳ sady nezáleží na pojmenování vrcholu

Def: Exponenciální generování ře. EGF definouje takto

$$\text{EGF}(\mathcal{G}) := \sum_{m=0}^{\infty} a_m \frac{x^m}{m!}, \quad a_m := |\{\alpha \in \mathcal{G} \mid V(\alpha) = [m]\}|$$

⊗ $A \cap B = \emptyset \Rightarrow \text{EGF}(A \cup B) = \text{EGF}(A) + \text{EGF}(B)$

⊗ $\text{EGF}(A) \cdot \text{EGF}(B) = \sum_m c_m \frac{x^m}{m!}, \quad \text{kde } c_m = \# \text{dvojic } (\alpha, \beta), \quad \text{kde } V(\alpha) \cap V(\beta) = \emptyset$
 ↳ $\frac{c_m}{m!} = \sum_k \frac{a_k}{k!} \cdot \frac{b_{m-k}}{(m-k)!} \Rightarrow c_m = \sum_k \binom{m}{k} a_k b_{m-k}$ rozloženo $[m]$

⊗ $\text{EGF}(A)^2 = \sum_m d_m \frac{x^m}{m!}, \quad \text{kde } d_m = \# \text{klic } (\alpha_1, \dots, \alpha_k), \quad \text{kde } \{V(\alpha_i)\}_i \text{ jsou rozloženy } [m]$

! důležitě: $a_0 = 0$, jinak vše dle může být stejně - nic nepřispívají do $[n]$
 $\Rightarrow \frac{1}{k!} \text{EGF}(A) \cdots \frac{d_m}{k!} = \# \text{moci } \{\alpha_1, \dots, \alpha_k\} \quad \text{kde } \{V(\alpha_i)\}_i \text{ jsou rozloženy } [n]$

⊗ $\sum_{k=0}^{\infty} \frac{\text{EGF}(A)^k}{k!} = \sum_m s_m \frac{x^m}{m!}, \quad \text{kde } s_m = \# \text{moci } \{\alpha_i\}_i \quad \text{kde } \{V(\alpha_i)\}_i \text{ jsou rozloženy } [m]$

Příklad: facilitáne lesy na n vrcholech

$$S(x) = \sum_{n=0}^{\infty} A_n \frac{x^n}{n!}, \quad A_n = \# \text{stromů na } n \text{ vrcholech} = n^{n-2}$$

$$K(x) = \sum_{n=0}^{\infty} E_n \frac{x^n}{n!}, \quad E_n = \# \text{lesů na } n \text{ vrcholech}$$

$$\rightarrow [x^n] S(x) \cdot K(x) = \# \text{grafů na } n \text{ vrcholech s 2 komp., kde } \begin{cases} \text{labeled} & 1. \text{ komp.: strom} \\ & 2. \text{ komp.: lesník} \end{cases}$$

$$\rightarrow [x^n] S(x)^2 = \# \text{grafů na } n \text{ vrcholech s 2 komp., kde } \begin{cases} \text{labeled} & 1. \text{ komp.: strom} \\ & 2. \text{ komp.: strom} \end{cases}$$

$$\rightarrow [x^n] \frac{S(x)^2}{2!} = \# \text{grafů na } n \text{ vrcholech s 2 komp., kde obě jsou stromy}$$

$$\rightarrow [x^n] \frac{S(x)^3}{3!} = \# \text{grafů na } n \text{ vrcholech s 3 komp.} \rightarrow \text{kde všechny jsou stromy}$$

$$\rightarrow [x^n] \sum_{k=0}^{\infty} \frac{S(x)^k}{k!} = [x^n] \exp(S(x)) = \# \text{lesů na } n \text{ vrcholech}$$

↳ komponent musí mít řetěz chci, ale

① všechny tr musí být stromy

② dohromady musí mít n vrcholů

BURNSEDOVO LEMMA

Def: Grupa Γ' je možna s bin. operací o 1.r.

i) $(a \circ b) \circ c = a \circ (b \circ c)$

ii) $\exists 1 \in \Gamma : a \circ 1 = 1 \circ a = a$

iii) $\forall a \exists \bar{a} : a \circ \bar{a} = \bar{a} \circ a = 1$

Příklady semejších grup

- permutace množiny $[n]$ se vkládáním

- grafy na množině V se sym. vztahem bran

- automorfismy grupy G

$$\begin{array}{ccc} \text{Aut}(G) & & V(G) \\ \uparrow & & \uparrow \end{array}$$

Def (aku grupy): Nechť A je množina, Γ grupa, potom aku Γ' na A je bin. operace $\bullet : \Gamma' \times A \rightarrow A$ l.r.

i) $\forall x \in A : 1_{\Gamma'} \bullet x = x$

ii) $\forall \gamma, \delta \in \Gamma' : \gamma \bullet (\delta \bullet x) = (\gamma \cdot \delta) \bullet x$

Instance: Automorfismus maticí rozbíjí matici

Permutace matic množí jen

⊗ $\gamma \bullet x = y \Leftrightarrow x = \gamma^{-1} \bullet y \quad \dots \quad \Rightarrow: \gamma^{-1} \bullet y = \gamma^{-1} \bullet (\gamma \bullet x) = (\gamma^{-1} \cdot \gamma) \bullet x = x$

Def Maticina fenzích bodů pro $\gamma \in \Gamma'$ je $\text{Fix}(\gamma) := \{x \in A \mid \gamma \bullet x = x\}$

Def: Stabilizátor pro $x \in A$ je $\text{Stab}(x) := \{\gamma \in \Gamma' \mid \gamma \bullet x = x\}$

⊗ $\text{Fix}(1_{\Gamma'}) = A, \quad \forall x : 1_{\Gamma'} \in \text{Stab}(x)$

⊗ $\gamma \in \text{Stab}(x) \Leftrightarrow x \in \text{Fix}(\gamma) \Leftrightarrow x = \gamma \bullet x$

Twem: $\text{Stab}(x)$ je fodgrupa grupy Γ'

Dk: Asociativita se dleší, neutrální jen sam je $\because 1_{\Gamma'} \in \text{Stab}(x)$

inverzní jenek: $\gamma \bullet x = x \Rightarrow \gamma^{-1} \bullet x = \gamma^{-1} \bullet (\gamma \bullet x) = (\gamma^{-1} \cdot \gamma) \bullet x = x \quad \checkmark$

uravnost: $\gamma, \delta \in \text{Stab}(x)$, chceme $\gamma \circ \delta \in \text{Stab}(x)$

$$\left. \begin{array}{l} \gamma \bullet x = x \\ \delta \bullet x = x \end{array} \right\} (\gamma \circ \delta) \bullet x = \gamma \bullet (\delta \bullet x) = \gamma \bullet x = x \quad \checkmark$$

Def (orbita): Proky $x, y \in A$ jsou ekvivalentní (míti akii \bullet grafy Γ) \Leftrightarrow
 $\exists \gamma \in \Gamma : \gamma \cdot x = y \dots x \sim_{\Gamma} y$

Orbita je struktura ekvivalence \sim_{Γ} . Množina všech orbit je A/Γ

Značení: $[x]_{\Gamma} := \{y \cdot x \mid y \in \Gamma\} \dots$ orbita obsahující x

Příklad: koločky

$$K = \left\{ \begin{array}{c} \text{X} \\ \text{X} \\ \text{X} \\ \text{X} \end{array} \mid a, b, c, d \in \{T, P, M\} \right\}, \quad \Gamma = \{1_{\Gamma}, \rightarrow, \leftarrow, \leftrightarrow\}$$

$$\text{Sob}(\text{X}) = \{1_{\Gamma}, \rightarrow\}$$

$$\text{Fix}(1_{\Gamma}) = K$$

$$\text{Sob}(\text{X}) = \Gamma$$

$$\text{Fix}(\rightarrow) = \{ \text{X} \mid \bullet \in \{T, M, P\} \}$$

$$\text{Sob}(\text{X}) = \{1_{\Gamma}\}$$

$$\text{Fix}(\leftarrow) = \{ \text{X} \mid \bullet, \circ \in \{T, M, P\} \}$$

Lemma (o orbitách a stabilizaci): Nechť Γ je konečná grafa s akii \bullet na A , potom

$$\forall x \in A : |\text{Sob}(x)| \cdot |[x]_{\Gamma}| = |\Gamma|$$

Dk: Nechť x je dané a definujme $\text{Map}(y) := \{ \gamma \mid \gamma \cdot x = y \}$

$$|\Gamma| \stackrel{(*)}{=} \sum_{y \in [x]} |\text{Map}(y)| \stackrel{(+)}{=} \sum_{y \in [x]} |\text{Sob}(x)| = |[x]| \cdot |\text{Sob}(x)|$$

(*) $\geq : \forall \gamma \in \Gamma$ je γ nejvíce jední Map(y) ... protože nejde $\gamma \cdot x = y_1 \neq y_2$

$\leq : \forall \gamma \in \Gamma$ je γ méně Map(y) ... $\forall \gamma : \gamma \cdot x \in [x] \rightarrow$ norma $y = \gamma \cdot x$

$$(+) y \in [x] \Rightarrow |\text{Map}(y)| = |\text{Sob}(x)| \dots$$
 nechť $y = \delta \cdot x \because y \in [x]$

$\leq : y \cdot x = y \Rightarrow \gamma \cdot x = \delta \cdot x \Rightarrow (\delta^{-1} \circ \gamma) \cdot x = x \dots$ využil jsem stab

$\geq : y \cdot x = x \Rightarrow \delta \cdot (\gamma \cdot x) = \delta \cdot x = y \Rightarrow (\delta \circ \gamma) \cdot x = y \dots$ využil jsem mafu

Květa (Burnsideho lemma 1897, Cauchy (1825)-Frobenius (1887) formule):

Nechť Γ je konečná grafa s akii \bullet na A , potom

$$\textcircled{1} \text{ jednoduchá verze: } |A/F| = \frac{1}{|\Gamma|} \sum_{\gamma \in \Gamma} |\text{Fix}(\gamma)| \dots \# \text{ orbitů} = \text{průměr velikosti Fix}$$

\textcircled{2} Nechť mř píše orbitální ráhy: $w : A/F \rightarrow \mathbb{R} \leftarrow$ Bruck

$$\sum_{\sigma \in A/\Gamma} w(\sigma) = \frac{1}{|\Gamma|} \sum_{\gamma \in \Gamma} \sum_{x \in \text{Fix}(\gamma)} w([x]) \dots$$

celková ráha orbit je průměrná ráha orbit Fix

Věta: Nechť Γ je konečná grupa s akcií na A .

Nechť má řadu orbit σ ráha $w(\sigma) \in \text{Orech. První}$

$$\sum_{\sigma \in A/\Gamma} w(\sigma) = \frac{1}{|\Gamma|} \sum_{\gamma \in \Gamma} \sum_{x \in \text{Fix}(\gamma)} w([x]) = \frac{1}{|\Gamma|} \cdot S$$

Důkaz: Počítání akce řadou ... můžeme fix funkcionál

$$S = \sum_{\substack{(y, x) \\ y \cdot x = x}} w([x]) = \sum_{x \in A} \sum_{y \in \text{Stab}(x)} w([x]) = \sum_{\sigma \in A/\Gamma} \sum_{x \in \sigma} \sum_{y \in \text{Stab}(x)} w([x]) = \sum_{\sigma \in A/\Gamma} \sum_{x \in \sigma} |\text{Stab}(x)| \cdot w(\sigma)$$

↳ ideální spočítání pořadím

koružného lemmu: $= \sum_{\sigma} \sum_{x \in \sigma} \frac{|\Gamma|}{|\sigma|} \cdot w(\sigma) = |\Gamma| \cdot \sum_{\sigma} \frac{1}{|\sigma|} \sum_{x \in \sigma} w(\sigma) = |\Gamma| \cdot \sum_{\sigma} w(\sigma)$

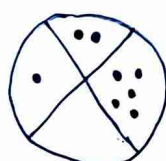
Příklad: Zjistit řadu rotací kruhu \rightarrow rotací medailonu mají tyto rotace

$\rightarrow \# \text{orbit} \leq s \text{ akci } \Gamma = \# \text{různých variant rotací} \text{ což je rovno}$

γ	1_Γ	$\begin{smallmatrix} \cancel{\downarrow} & \cancel{\uparrow} \\ \cancel{\leftarrow} & \cancel{\rightarrow} \end{smallmatrix}$	$\begin{smallmatrix} \cancel{\downarrow} & \cancel{\uparrow} \\ \cancel{\leftarrow} & \cancel{\rightarrow} \end{smallmatrix}$
$\text{Fix}(\gamma)$	$3^4 = 81$	3	$3 \cdot 3 = 9$

$\dots \# \text{orbit} = \frac{1}{4} (81 + 3 + 3 + 9) = 24$

Příklad: rovinové rotace



$$R = \left\{ \begin{smallmatrix} a & b \\ c & d \end{smallmatrix} \mid a, b, c, d \in \mathbb{N}_0 \right\}$$

cíl: generovat funkci $A(x) = \sum a_n x^n$, kde $a_n = \# \text{variant rotací} \text{ o } n \text{ rovinách}$
 $\hookrightarrow a_0 = 1, a_1 = 1, a_2 = 3, \dots$ $= \# \text{orbit rotací} \text{ o } n \text{ rovinách}$

myšlenka: Burnside s ráhami - recall: ráha $\in \text{Orech.}$ & $R[[x]]$ lze využít

$$w([x]) = x^{\# \text{různých rotací} \text{ r} \circ g} \rightarrow w\left(\begin{smallmatrix} \bullet & \bullet \\ \bullet & \bullet \end{smallmatrix}\right) = x^3$$

\Rightarrow pro $\gamma \in \Gamma$ musíme mít $\sum_{x \in \text{Fix}(\gamma)} w([x])$

$$\bullet \gamma = 1_\Gamma \Rightarrow \text{Fix}(1_\Gamma) = K \sim \begin{smallmatrix} a & b \\ c & d \end{smallmatrix} \Rightarrow \sum_{a, b, c, d \in \mathbb{N}_0} x^{a+b+c+d} = \left(\sum_{a \in \mathbb{N}_0} x^a \right)^4 = \frac{1}{(1-x)^4}$$

$$\bullet \gamma = \begin{smallmatrix} \cancel{\downarrow} & \cancel{\uparrow} \\ \cancel{\leftarrow} & \cancel{\rightarrow} \end{smallmatrix}, \begin{smallmatrix} \cancel{\downarrow} & \cancel{\uparrow} \\ \cancel{\leftarrow} & \cancel{\rightarrow} \end{smallmatrix} \Rightarrow \text{Fix}(\gamma) \sim \begin{smallmatrix} a & a \\ a & a \end{smallmatrix} \Rightarrow \sum_{a \in \mathbb{N}_0} x^{4a} = \frac{1}{1-x^4}$$

$$\bullet \gamma = \begin{smallmatrix} \cancel{\downarrow} \\ \cancel{\leftarrow} \end{smallmatrix} \Rightarrow \text{Fix}(\gamma) \sim \begin{smallmatrix} a & b \\ b & a \end{smallmatrix} \Rightarrow \sum_{a, b \in \mathbb{N}_0} x^{2a+2b} = \left(\sum_{a \in \mathbb{N}_0} x^{2a} \right)^2 = \frac{1}{(1-x^2)^2}$$

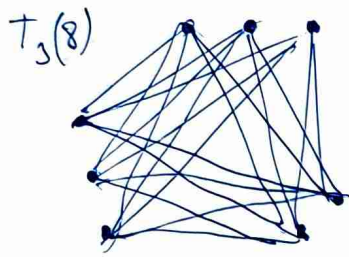
$$\underline{\text{Burnside:}} \quad A(x) = \sum_{\sigma \in K/\Gamma} w(\sigma) = \frac{1}{4} \left(\frac{1}{(1-x)^4} + 2 \cdot \frac{1}{1-x^4} + \frac{1}{(1-x^2)^2} \right)$$

EXTREMÁLNÍ TEORIE

Def: Pro graf H je $\text{ex}(n, H) := \max_m$ l.r. $\exists G \begin{cases} |V|=n \\ |E|=m \end{cases}$ až. H nemá podgraf G .

- $\text{ex}(n, K_3) = |E(K_{\lfloor \frac{n}{2} \rfloor, \lfloor \frac{n}{2} \rfloor})| = \left\lfloor \frac{n}{2} \right\rfloor \cdot \left\lfloor \frac{n}{2} \right\rfloor \in \Theta(n^2)$
- $\text{ex}(n, C_4) \in O(n\sqrt{n})$... viz kouzlo 1

Def (Turán graph): Pro $k, n \in \mathbb{N}$ je $T_k(n)$ nejvyšší k -partitní graf na n vrcholech, jehož všechny partičky mají velikost $\left\lfloor \frac{n}{k} \right\rfloor$ nebo $\left\lceil \frac{n}{k} \right\rceil$. Označme $t_k(n) := |E(T_k(n))|$.



$\Leftrightarrow k$ -partitní $\Leftrightarrow k$ -obručkový

$\forall k \geq 2 : \text{ex}(n, K_k) \geq t_{k-1}(n) \because K_k \notin T_{k-1}(n)$

Věta: $\forall k \geq 2 : \text{ex}(n, K_k) = t_{k-1}(n)$

Lemma 1: Kardinalita k -partitního grafu na n vrcholech má největší $t_k(n)$ hran.

Intuice: $T_k(n)$ využívá partičky nejefektivněji - všechny "stejnou" velikost.

Dr: Nechť $G = (P_1 \cup P_2 \cup \dots \cup P_k, E)$ je k -partitní, kdežto $|P_1| \leq |P_2| \leq \dots \leq |P_k|$.

\rightarrow pokud $|P_k| \leq |P_1| + 1$, pak $G \cong T_k(n)$... hovoří

\rightarrow jinak pro spor nechť $|P_k| \geq |P_1| + 2 \rightarrow$ idea: vrchol $x \in P_k$ přesunout do P_1

\Rightarrow nechť $x \in P_k$ a vytvořme G' s partičkami $P_1 \cup \{x\}, P_2, \dots, P_k - \{x\}$

- stupeň pro P_2, \dots, P_{k-1} se nemění - vrcholy stále vidí x , jen je jinde

- stupeň pro $y \in P_1$ zůstane o 1

- stupeň pro $y \in P_k - \{x\}$ zůstane o 1

- stupeň pro x zůstane alespoň o 1: x pustav vidí P_1 , žádne vidí $P_k - \{x\}$

\Rightarrow aktem rovnice $\deg x \geq |P_1| + |P_k| - 1 + 1 \geq 2 \Rightarrow$ všechna hraná mívají \blacksquare

Lemma 2: Nechť $G = (V, E)$ nedohrnuje K_k jako podgraf. Potom $\exists H = (V, E_H)$, který je $(k-1)$ -partitní l.r. $\forall x \in V : \deg_H(x) \geq \deg_G(x)$... a tedy $|E(H)| \geq |E(G)|$.

Intuice: Pro $\text{ex}(n, K_k)$ je $\text{ex}(n, K_{k-1})$ nejlepší

Dr: Indukční postupek. Base case: $k=2 \Rightarrow G$ nemá hranu $\Rightarrow G$ je 1-partitní \checkmark

Pro $k \geq 3$ nechť $K_k \notin G$ a nechť $x \in V(G)$ je vrchol s max. deg.

\Rightarrow označme $S := N_G(x)$... souseďi ... a zkrátme $G[S]$

$\Leftrightarrow G[S]$ neobsahuje K_{k-1} , jinak $K_k \subseteq G \Rightarrow$ I.P. máme da' $(k-2)$ -partitní $H_S = (S, E_{H_S})$

\Rightarrow vytvoříme H tak, že dr. H_S přidáme vrcholy $V \setminus S$ jako poslední (uprostřed) partičku

① $y \in V \setminus S : \deg_H(y) = |S| = \deg_G(x) \geq \deg_G(y)$ ② $y \in S : \deg_H(y) = \deg_{H_S}(y) + |V \setminus S| \stackrel{\text{I.P.}}{\geq} \deg_{G_S}(y) + |V \setminus S| \geq \deg_G(y)$

Věta (Turán, 1941): Pro $\ell \geq 2$: $\text{ex}(n, K_\ell) = t_{\ell-1}(n)$

Poznámka: $t_\ell(n) = \frac{\ell-1}{2} \binom{n}{2} + O(n) = \frac{\ell-1}{2\ell} n^2 + O(n)$

Důkaz: Nechť G je graf a neobsahuje K_ℓ

→ podle formální myšle vše, že $T_{\ell-1}(n)$ funguje $\Rightarrow \text{ex}(n, K_\ell) \geq t_{\ell-1}(n)$

→ lemma 2: $\exists (\ell-1)$ -partici H s.r. je lepší než G

→ lemma 1: $T_{\ell-1}(n)$ je aležně stejně dobrý pro H $\Rightarrow \text{ex}(n, K_\ell) \leq t_{\ell-1}(n)$ □

Extremální teorie pro minory

Def: Pro graf H je $\text{ex}_\leq(n, H) := \max_m$ t.r. $\exists G \begin{cases} |V|=n \\ |E|=m \end{cases}$ t.r. H není minorem G.

• $\text{ex}_\leq(n, K_3) = n-1$... drahováme a izolované profy \Rightarrow lesy

⊗ $\text{ex}_\leq(n, H) \leq \text{ex}(n, H)$... $H \not\leq G \Rightarrow H \notin G$

Věta: Pro $\ell \geq 3$ existuje $d_\ell > 0$ t.r. třm: $\text{ex}_\leq(n, K_\ell) < d_\ell \cdot n$

Intuice: Grafy, kterým zahráváme K_ℓ jde minor mají lineární řetěz bran

Důkaz: určíme pro $d_\ell = 2^{\frac{\ell-3}{2}}$, indukce podle ℓ

• base case: $\ell=3 \Rightarrow$ lesy a nivé $\text{ex}_\leq = n-1 \dots d_3 = 1 = 2^0 \checkmark$

• $\ell > 3 \rightarrow$ indukce

→ nechť $\exists G = (V, E)$, $K_\ell \not\leq G$, ale $|E| \geq d_\ell \cdot |V|$

↳ ze všech drahových grafů mybereme ten s minimálním $|V| + |E|$

⊗ řeď G' $\leq G$, tak $|E(G')| < d_\ell \cdot |V(G')|$, jinak bychom zvolili G' (*)

Pomocné tvrzení (**): $\forall e=xy \in E$ platí $|N_G(x) \cap N_G(y)| \geq d_\ell$

Pr: Podíváme se na $G' := G \setminus e$... máme 2 nové vrcholy

• $|E| \geq d_\ell / |V|$... G je polipřipoj

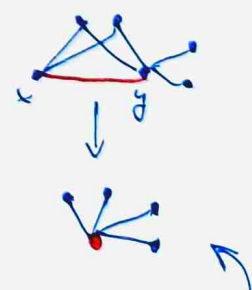
• $|E'| < d_\ell / |V|$... $G' \leq G$, tedy není polipřipoj \therefore (*)

$$\Rightarrow |E| - |E'| \geq d_\ell / |V| - d_\ell / |V'| = d_\ell (|V| - |V'|) = d_\ell$$

Není $|E| - |E'| = 1 + |N(x) \cap N(y)|$... ramečky bran druhých sousedů
celkově máme rádovou místnost

Nyní zberu libovolný $x \in V(G)$, $\deg_G(x) \geq 1$, $S := N_G(x)$, $G_S := G[S]$

⊗ $K_{\ell-1} \not\leq G_S$, jinak by bylo srovnání x a jeho bran máme $K_\ell \leq G \dots$ f



frolle (***) poukáže na x , pro $y \in S$: $|N_G(x) \cap N_G(y)| \geq d_\varepsilon$
 ↳ ale všechny sousedé x leží v $S \Rightarrow |N_{G_S}(x) \cap N_{G_S}(y)| \geq d_\varepsilon$
 ⇒ tedy $\deg_{G_S}(y) \geq d_\varepsilon$

$$|E(G_S)| = \frac{1}{2} \sum \deg \geq \frac{1}{2} \cdot |V(G_S)| \cdot d_\varepsilon = d_{\varepsilon-1} |V(G_S)|$$

? Ale pak ještě $K_{\varepsilon-1} \notin G_S$, totéž frolle I.P. že $|E(G_S)| < d_{\varepsilon-1} \cdot |V(G_S)|$

Note: Odhad byl dost brutální, obecně platí $d_\varepsilon \in O(\varepsilon \log \varepsilon)$.

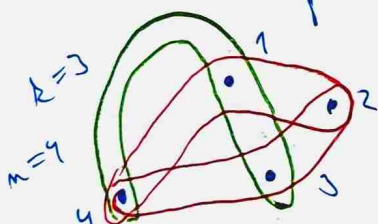
Pronikající systémy mříží

Def: ε -uniformní hypergraf je dvojice (V, E) , kde $E \subseteq \binom{V}{\varepsilon}$.

Def: Mřížový systém E je pronikající systém mříží $\Leftrightarrow \forall e, f \in E: e \cap f \neq \emptyset$

Def: Pro $\varepsilon \geq 2$ definujeme $f(\varepsilon, n) := \max_m$ t.č. $\exists \varepsilon$ -unif $H \begin{cases} |V|=n \\ |E|=m \end{cases}, E \text{ je PSM.}$

- $n < \varepsilon$: $f(\varepsilon, n) = 0$... nemůžeme vyrobit hrany
- $\varepsilon \leq m < 2\varepsilon$: $f(\varepsilon, n) = \binom{m}{\varepsilon}$... když neexistuje výplň graf, totéž $E \text{ je PSM}$
- $m \geq 2\varepsilon$: $f(\varepsilon, n) \geq \binom{n-1}{\varepsilon-1}$... shněcnicová konstrukce



$$E = \left\{ e \cup \{m\} \mid e \in \binom{[n-1]}{\varepsilon-1} \right\}$$

$$\text{Věta: } f(\varepsilon, n) = \binom{n-1}{\varepsilon-1}$$

Def: Cyklické pořadí mřížky $[n]$ je nejdelší 1-cyklová permutace plné $[n]$
 $\rightarrow \varepsilon$ -intervaly cyklického pořadí C jsou ε -funkní $\alpha \in [n]$ obsahující ε -součet jeho ε -množin C

Príklad: $C = (3, 1, 5, 4, 2, 7, 6, 8)$ je c.f. $[8]$, jehož 3-intervaly jsou $315, 154, 542, 427, 276, 768,$

$\#$ cyklických pořadí $[n]$ je $(n-1)!$... $\frac{n!}{n^\varepsilon}$ → maximální počet funkcií

pro $\forall \varepsilon = \# \varepsilon$ -intervalů je n

$$\hookrightarrow (3, 2, 4, 1) \sim (1, 3, 2, 4)$$

Věta (Erdős - Ko - Rado): Pro $n \geq 2\varepsilon$ platí $f(\varepsilon, n) = \binom{n-1}{\varepsilon-1}$.

Def: Nechť $E \subseteq \binom{[n]}{\varepsilon}$ je PSM pro $n \geq 2\varepsilon$, akademickým slovem soubory

⇒ lze každou funkciál # dvojic (C, e) , kde C je c.f. $[n]$ a $e \in E$ je interval C

① neexistuje $e \in E$ ažži vyhoví C : e reprezentuje $\varepsilon!$ soubory a $V \setminus e$ $(n-\varepsilon)!$ soubory

⇒ totéž pro všechny $e \in E$: $\#(C, e) = |E| \cdot \varepsilon! \cdot (n-\varepsilon)!$ ⇒ max. s hranami

② neexistuje C : ε -interval je n , kolik z nich je druhou?

⇒ pro všechny intervaly: $\#(C, e) \leq (n-1)! \cdot 2$ ⇒ celkově: $|E| \leq \frac{(n-1)! \cdot 2}{\varepsilon! (n-\varepsilon)!} = \binom{n-1}{\varepsilon-1}$